



芯海科技
CHIPSEA

CS32F031x6/x8 数据手册

32-bit ARM[®] M0-based MCU

REV 1.5

芯海科技（深圳）股份有限公司

地 址：深圳市南山区蛇口南海大道1079号花园城数码大厦A座9楼

电 话：+(86 755)86169257 传 真：+(86 755)86169057

网 站：[www.chipsea.com](http://www(chipsea.com) 邮 编：518067

微信号：芯海科技



版本历史

| 版本号 | 说明 | 日期 |
|-----|--|------------|
| 1.0 | 初版 | 2019-6-17 |
| 1.1 | 1. 增加型号 E6Y6, 更新 WLCSP25 封装引脚图和封装框图 2. LRC 频率: min (30->27) , max (50->62) 3. ADC 特性更新: fADC <ul style="list-style-type: none"> > $-40^{\circ}\text{C} \leq \text{Trange} \leq 85^{\circ}\text{C}$, fADC$\leq$14MHz, 支持电压范围 $2.65 \leq \text{VDDA} \leq 5.5\text{V}$; > $-40^{\circ}\text{C} \leq \text{Trange} \leq 105^{\circ}\text{C}$, fADC$\leq$14MHz, 支持电压范围 $2.7 \leq \text{VDDA} \leq 5.5\text{V}$; > $-40^{\circ}\text{C} \leq \text{Trange} \leq 105^{\circ}\text{C}$, fADC$\leq$12MHz, 支持电压范围 $2.4 \leq \text{VDDA} \leq 5.5\text{V}$; > 进入校准模式, fADC\leq12MHz。进入正常转换模式, fADC\leq14MHz。支持: $-40^{\circ}\text{C} \leq \text{Trange} \leq 105^{\circ}\text{C}$ 和电压范围 $2.4 \leq \text{VDDA} \leq 5.5\text{V}$; 4. ADC 特性更新: VDDA=2.4V 时, Offset 和 ERR _{Gain} 更新 5. 增加 QFN28 封装热特性 | 2020-7-16 |
| 1.2 | 1.更新温度传感器线性度参数, 区分不同温度范围 | 2020-8-26 |
| 1.3 | 1. 更新 QFN32 封装信息 2. 更新订货信息 | 2021-2-3 |
| 1.4 | 1. 更新 QFN32 封装公差信息 | 2021-4-14 |
| 1.5 | 1. 修正部分数据单位 | 2021-10-27 |

本资料为芯海科技专有财产, 非经许可, 不得复制、翻印或转变其他形式使用。

This document is exclusive property of CHIPSEA and shall not be reproduced or copied or transformed to any other format without prior permission of CHIPSEA

目录

| | |
|---|----|
| 版本历史 | 2 |
| 目录 | 3 |
| 1 介绍 | 5 |
| 2 功能 | 6 |
| 3 器件一览 | 9 |
| 4 引脚描述 | 11 |
| 4.1 LQFP48 | 11 |
| 4.2 QFN32 | 11 |
| 4.3 QFN28 | 12 |
| 4.4 WLCSP25 | 12 |
| 4.5 引脚描述 | 13 |
| 5 I/O 复用 | 17 |
| 5.1 PA 口复用功能 | 17 |
| 5.2 PB 口复用功能 | 18 |
| 6 存储器 | 19 |
| 7 功能描述 | 22 |
| 7.1 ARM® CORTEX®-M0 内核 | 22 |
| 7.2 存储器 | 22 |
| 7.3 时钟 | 22 |
| 7.4 工作环境 | 24 |
| 7.4.1 工作电压 | 24 |
| 7.5 启动模式 | 24 |
| 7.6 电源管理 | 24 |
| 7.6.1 低功耗模式 | 24 |
| 7.6.2 RTC 和不掉电寄存器 | 24 |
| 7.6.3 上电复位/掉电复位(POR/PDR) | 24 |
| 7.6.4 低电压复位模块(LVD) | 25 |
| 7.7 通用输入输出端口(GPIO) | 25 |
| 7.8 模数转换器(ADC) | 25 |
| 7.8.1 温度传感器(TS) | 25 |
| 7.8.2 内部参考电压 | 25 |
| 7.8.3 VBAT 监测 | 26 |
| 7.9 定时器 | 26 |
| 7.9.1 高级定时器 (TIM1) | 26 |
| 7.9.2 通用定时器 (TIM2, 3, 14, 15, 16, 17) | 26 |
| 7.9.3 基本定时器(TIM6) | 27 |
| 7.9.4 独立看门狗定时器(FWDT) | 27 |
| 7.9.5 窗看门狗定时器(WWDT) | 27 |
| 7.9.6 滴答定时器(SysTick) | 27 |
| 7.10 直接内存存取(DMA) | 27 |

| | |
|---|-----------|
| 7.11 中断和事件 | 27 |
| 7.12 实时时钟(RTC)和不掉电寄存器 | 27 |
| 7.13 串行外设总线(SPI) /集成电路内置音频总线(I2S) | 28 |
| 7.14 通用同步异步收发器(USART) | 28 |
| 7.15 I2C 接口 | 29 |
| 7.16 循环冗余校验 | 29 |
| 7.17 串行调试端口(SWD-DP) | 29 |
| 8 电气特性 | 30 |
| 8.1 说明 | 30 |
| 8.2 绝对最大额定值 | 31 |
| 8.3 工作条件 | 31 |
| 8.4 I/O 端口特性 | 32 |
| 8.5 低功耗模式唤醒时间 | 33 |
| 8.6 RC 振荡器特性 | 33 |
| 8.7 晶振特性 | 34 |
| 8.8 外部时钟特性 | 36 |
| 8.9 PLL 特性 | 36 |
| 8.10 功耗 | 36 |
| 8.11 内部参考电压特性 | 38 |
| 8.12 ADC 特性 | 38 |
| 8.13 温度传感器特性 | 39 |
| 8.14 VBAT 监测器特性 | 39 |
| 8.15 FLASH 特性 | 39 |
| 8.16 定时器特性 | 39 |
| 8.17 SPI/I2S 特性 | 40 |
| 8.18 I2C 特性 | 43 |
| 8.19 ESD 特性 | 44 |
| 9 封装信息 | 45 |
| 9.1 LQFP48 | 45 |
| 9.2 QFN32(0505×0.55-E=0.50) | 46 |
| 9.3 QFN32(0505×0.75-E=0.50) | 47 |
| 9.4 QFN28 | 49 |
| 9.5 WLCSP25 | 50 |
| 10 产品命名规则 | 52 |
| 10.1 产品丝印说明 | 52 |
| 11 订货信息 | 53 |
| 12 勘误表 | 54 |
| 13 缩略语 | 55 |
| 14 销售和服务 | 57 |

1 介绍

CS32F031 系列微控制器采用高性能的 32 位 ARM® Cortex®-M0 内核，嵌入高达 64K Bytes flash 和 8K Bytes SRAM，最高工作频率 48MHz。031 系列包含 3 种不同封装类型，涵盖 28 脚到 48 脚等多款产品。芯片提供标准的通信接口（I2C、SPI/I2S 和 USART），1 路 12bit ADC，7 个 16bit 定时器，1 个 32bit 定时器，1 个增强控制型 PWM 定时器。

CS32F031 系列微控制器的工作温度范围为 -40°C~105°C，工作电压范围 2V~5.5V。芯片提供一系列电源工作模式，以满足不同的低功耗应用。

CS32F031 系列微控制器适用于多种应用场景，例如控制器、手持设备、A/V 接收器、PC 外设、游戏和 GPS 平台，工业应用等。

本资料为芯海科技专有财产，非经许可，不得复制、翻印或转变其他形式使用。

This document is exclusive property of CHIPSEA and shall not be reproduced or copied or transformed to any other format without prior permission of CHIPSEA

2 功能

- 内核
 - 32 位 ARM® Cortex® -M0 CPU
 - 最高 48MHz 工作频率
- 存储器
 - 32K/64 K Bytes 的 flash 存储器
 - 192B Flash 数据存储
 - 4K/8K Bytes 的 SRAM, 带硬件奇偶校验
- 时钟模块
 - 内部 8MHz RC 振荡器(HRC), 典型情况下精度±1%
 - 内部 14MHz RC 振荡器(HRC14), 典型情况下精度±1%
 - 内部 40kHz RC 振荡器(LRC), 典型情况下精度±10%
 - 4~32MHz 晶体振荡器(HXT)
 - 32.768kHz 低速晶体振荡器(LXT)
 - x2,x3,..,x16 锁相环(PLL), 最高支持 48MHz
- 工作环境
 - VDD 电压: 2.0~5.5V
 - VDDA 电压: 2.0~5.5V
 - VBAT 电压: 1.65~5.5V
 - 温度范围: -40~105°C
- 启动方式
 - 支持从闪存存储器启动
 - 支持从系统存储器启动
 - 支持从内部 SRAM 启动
- 电源管理
 - 低功耗模式: 睡眠, 深度睡眠 1, 深度睡眠 2 和掉电模式
 - 备用电源 VBAT 为 RTC 和不掉电寄存器供电
 - 支持上电/掉电复位 (POR/PDR)
 - 支持低电压检测 (LVD)
- 通用输入输出(I/O)
 - 39 个 I/O 支持最高 48MHz 工作频率
 - 所有 I/O 映射外部中断向量
- 模数转换器(ADC)
 - 1 路 12 位 ADC
 - 最高 1 μS 转换时间
 - 支持 10 个外部输入通道
 - 工作电压范围: 2.4 ~5.5V
 - 输入电压转换范围: 0~VDDA

本资料为芯海科技专有财产, 非经许可, 不得复制、翻印或转变其他形式使用。

This document is exclusive property of CHIPSEA and shall not be reproduced or copied or transformed to any other format without prior permission of CHIPSEA

- 定时器
 - 1路 16bit 高级控制定时器 (TIM1) , 每路有 6 个带死区控制的 PWM 输出通道
 - 5 路通用的 16 位定时器
 - 1路通用的 32 位定时器
 - 1路基本的 16 位定时器
 - 1路独立看门狗定时器 (FWDT): 8 位预置数 和 12 位自减型计数器
 - 1路窗看门狗定时器 (WWDT): 7 位自减型计数器
 - 1个系统时间定时器: 24 位自减型计数器
- DMA
 - 5 通道 DMA 控制器
 - 支持的外设: SPIx, I2Sx, I2Cx, USARTx, TIMx, ADC
- 中断和事件
 - 多达 32 个可单独屏蔽的中断通道
 - 4 种优先级可选
 - 16 个外部中断线
- RTC 和不掉电寄存器
 - 日历功能
 - 报警和周期性地从深度睡眠 1/深度睡眠 2/掉电模式下唤醒的功能
 - RTC 时钟源: 32.768kHz 晶振时钟, 内部 40kHz 低速时钟, 32 分频的外部晶振时钟
 - VDD 关闭时保存 20 bytes 的用户数据
- 串行外设接口(SPI)
 - 两个 SPI 接口
 - One I2S multiplexing with SPI1
 - 支持 I2S 和 SPI1 端口复用
 - 3 位预分频器可以产生 8 种主模式频率
 - 4 到 16 位可配置的帧格式
- 通用同步/异步收发器(USART)
 - 5 个 USART
 - 支持: ISO7816 接口, LIN 主从功能, IrDA 传输编解码
 - 自动波特率检测
 - 支持从深度睡眠 1/深度睡眠 2 模式唤醒
- I2C
 - 2 路 I2C 支持主/从模式
 - 支持: 标准模式 (100k bit/s), 快速模式 (高达 400k bit/s), 超快模式 (高达 1M bit/s)
 - 支持 7 位或 10 位寻址模式
- CRC 发生/校验器
- 串行单线调试 (SWD)
- 封装
 - QFN28
 - QFN32
 - LQFP48

本资料为芯海科技专有财产, 非经许可, 不得复制、翻印或转变其他形式使用。

This document is exclusive property of CHIPSEA and shall not be reproduced or copied or transformed to any other format without prior permission of CHIPSEA

— WLCSP25

本资料为芯海科技专有财产，非经许可，不得复制、翻印或转变其他形式使用。

This document is exclusive property of CHIPSEA and shall not be reproduced or copied or transformed to any other format
without prior permission of CHIPSEA

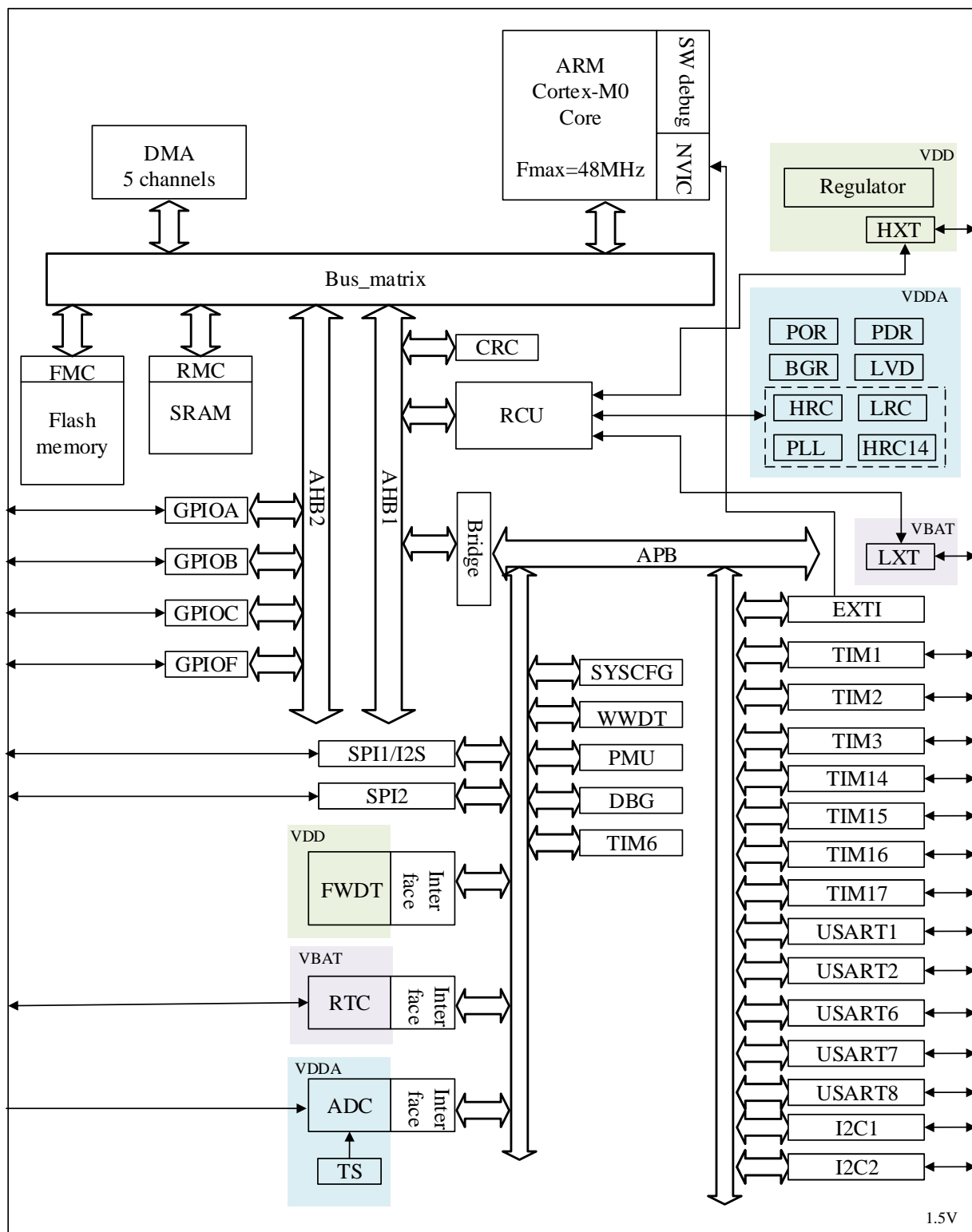
3 器件一览

CS32F031 系列封装类型包括：WLCSP25，QFN28，QFN32 和 LQFP48。

表 1 CS32F031 系列

| 器件 | | CS32F031XXXX | | | |
|----------------------------|----------|-------------------------------|-----------|-----------|-----------|
| | | E6Y6 | G6U6 | K8U6 | C8T6 |
| 闪存 (K Bytes) | | 32 | 32 | 64 | 64 |
| SRAM (K Bytes) | | 4 | 4 | 8 | 8 |
| 定时器 | 16 位高级控制 | 1 | | | |
| | 32 位通用 | 1 | | | |
| | 16 位通用 | 5 | | | |
| | 基本型 | 1 | | | |
| | 独立看门狗 | 1 | | | |
| | 窗看门狗 | 1 | | | |
| | 滴答定时器 | 1 | | | |
| Communication interfaces | SPI/I2S | 1 | 1 | 1 | 2 |
| | I2C | 1 | 1 | 1 | 2 |
| | USART | 4 | 4 | 5 | 5 |
| ADC | 个数 | 1 | | | |
| | 外部通道数 | 10 | | | |
| | 内部通道数 | 3 | | | |
| I/O | | 21 | 23 | 27 | 39 |
| Clocks:HXT/LXT/HRC/LRC/PLL | | 0/1/1/1/1 | 1/0/1/1/1 | 1/0/1/1/1 | 1/1/1/1/1 |
| 工作电压 | | 2~5.5V | | | |
| 工作温度 | | 环境温度： -40~105°C；结温： -40~125°C | | | |
| 封装类型 | | WLCSP25 | QFN28 | QFN32 | LQFP48 |

图 1 模块框图



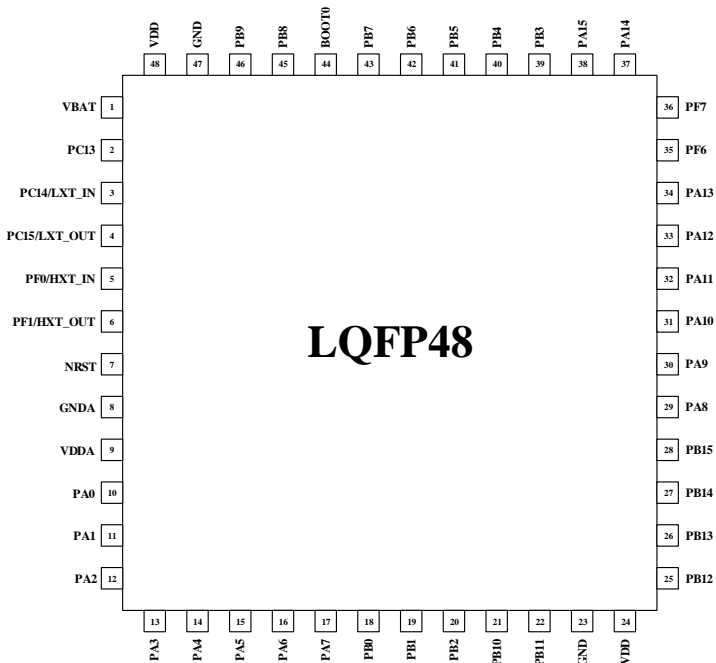
本资料为芯海科技专有财产，非经许可，不得复制、翻印或转变其他形式使用。

This document is exclusive property of CHIPSEA and shall not be reproduced or copied or transformed to any other format without prior permission of CHIPSEA

4 引脚描述

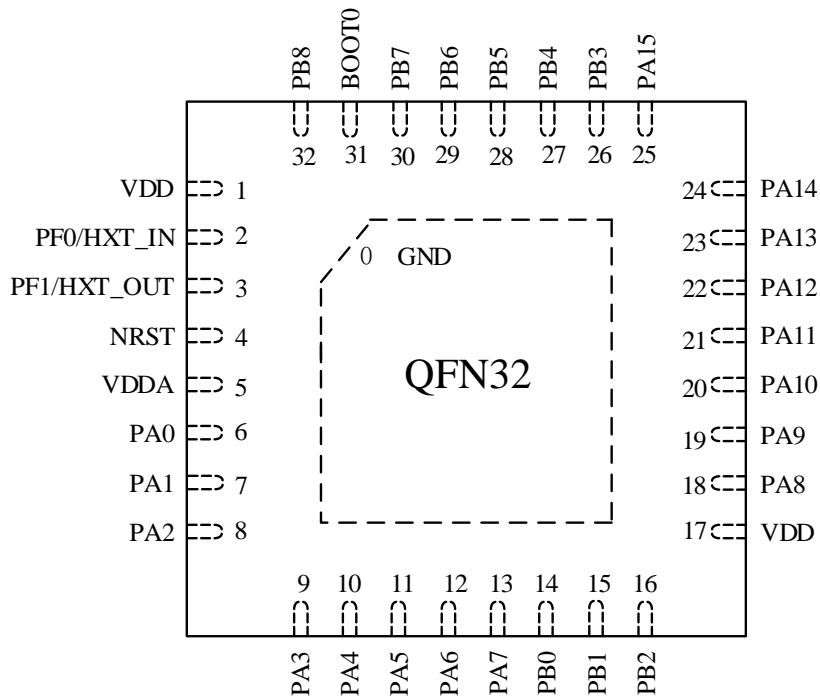
4.1 LQFP48

图 2 LQFP48 封装引脚图（顶视图）



4.2 QFN32

图 3 QFN32 封装引脚图（顶视图）

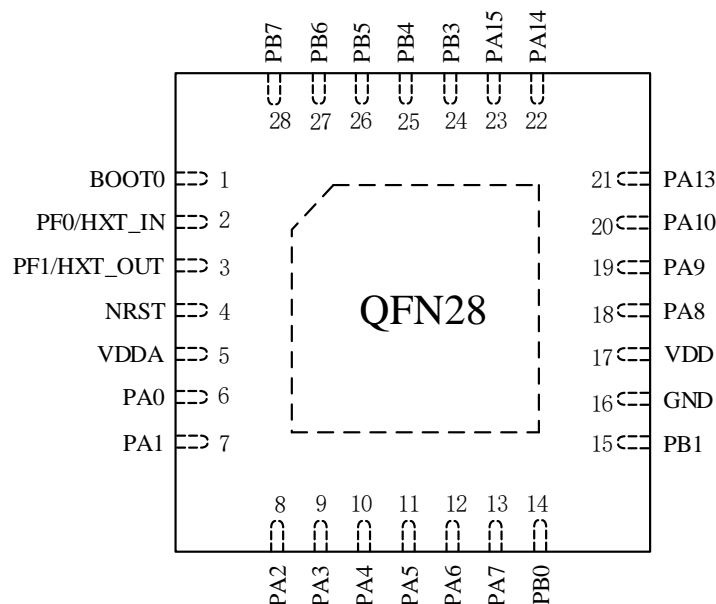


本资料为芯海科技专有财产，非经许可，不得复制、翻印或转变其他形式使用。

This document is exclusive property of CHIPSEA and shall not be reproduced or copied or transformed to any other format without prior permission of CHIPSEA

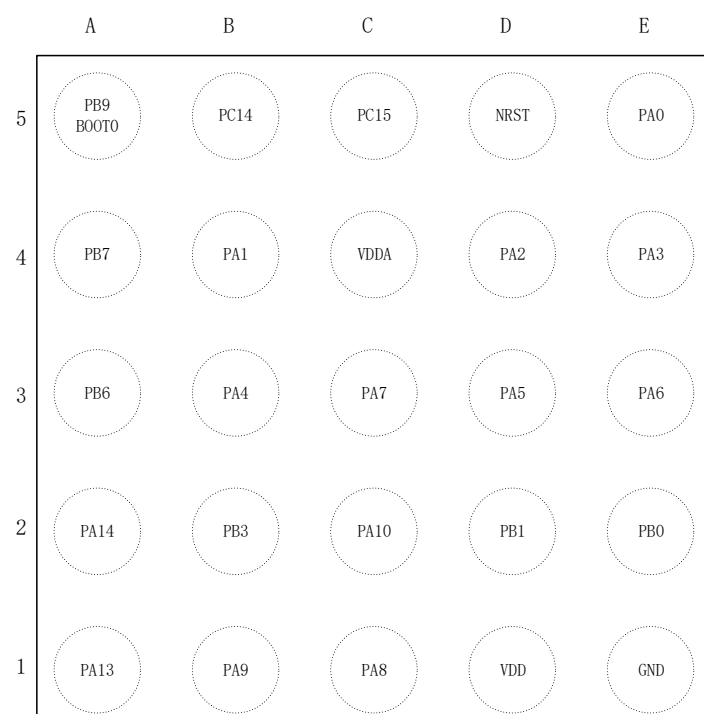
4.3 QFN28

图 4 QFN28 封装引脚图（顶视图）



4.4 WLCSP25

图 5 WLCSP25 封装引脚图（marking side）



本资料为芯海科技专有财产，非经许可，不得复制、翻印或转变其他形式使用。

This document is exclusive property of CHIPSEA and shall not be reproduced or copied or transformed to any other format without prior permission of CHIPSEA

4.5 引脚描述

表 2 引脚描述

| LQFP48 | 引脚号 | | | 引脚名称 | 类型 | 描述 | |
|--------|-------|-------|----------|------------------------|-----|--|--|
| | QFN32 | QFN28 | WL CSP25 | | | 复用功能 | 特殊功能 |
| 1 | | | | VBAT | S | 备用电源 | |
| 2 | | | | PC13 | I/O | - | RTC_TAMP1, RTC_TS, RTC_OUT, WKUP2 |
| 3 | | | B5 | PC14/LXT_IN (PC14) | I/O | - | LXT_IN |
| 4 | | | C5 | PC15/LXT_OUT (PC15) | I/O | - | LXT_OUT |
| 5 | 2 | 2 | | PF0/HXT_IN (PF0) | I/O | - | HXT_IN |
| 6 | 3 | 3 | | PF1/HXT_OUT (PF1) | I/O | - | HXT_OUT |
| 7 | 4 | 4 | D5 | NRST | I/O | 复位输入/ 内部复位输出 (低电平有效) | |
| 8 | | | | GNDA | S | 模拟地 | |
| 9 | 5 | 5 | C4 | VDDA | S | 模拟电源 | |
| 10 | 6 | 6 | E5 | PA0 | I/O | TIM2_CH1_ETR, USART1_CTS ⁽²⁾ , USART2_CTS ⁽³⁾ | ADC_IN0, RTC_TAMP2, WKUP1 |
| 11 | 7 | 7 | B4 | PA1 | I/O | TIM2_CH2, EVENTOUT, USART1 RTS ⁽²⁾ , USART2 RTS ⁽³⁾ | ADC_IN1 |
| 12 | 8 | 8 | D4 | PA2 | I/O | TIM2_CH3, TIM15_CH1, USART1_TX ⁽²⁾ , USART2_TX ⁽³⁾ | ADC_IN2 |
| 13 | 9 | 9 | E4 | PA3 | I/O | TIM2_CH4, TIM15_CH2, USART1_RX ⁽²⁾ , USART2_RX ⁽³⁾ | ADC_IN3 |
| 14 | 10 | 10 | B3 | PA4 | I/O | SPI1_NSS, I2S1_WS, TIM14_CH1, USART1_CK ⁽²⁾ , USART2_CK ⁽³⁾ , USART6_TX | ADC_IN4 |
| 15 | 11 | 11 | D3 | PA5 | I/O | SPI1_SCK, I2S1_CK, TIM2_CH1_ETR, USART6_RX, USART7_TX, USART8_TX | ADC_IN5 |

本资料为芯海科技专有财产，非经许可，不得复制、翻印或转变其他形式使用。

This document is exclusive property of CHIPSEA and shall not be reproduced or copied or transformed to any other format without prior permission of CHIPSEA

| | | | | | | | |
|----|----|----|----|------|-----|--|----------------|
| 16 | 12 | 12 | E3 | PA6 | I/O | SPI1_MISO, I2S1_MCK, TIM3_CH1, TIM1_BKIN, TIM16_CH1, EVENTOUT, USART7_RX, USART8_RX | ADC_IN6 |
| 17 | 13 | 13 | C3 | PA7 | I/O | SPI1_MOSI, I2S1_SD, TIM3_CH2, TIM14_CH1, TIM1_CH1N, TIM17_CH1, EVENTOUT USART7_CK_RTS, USART8_CK_RTS | ADC_IN7 |
| 18 | 14 | 14 | E2 | PB0 | I/O | TIM3_CH3, TIM1_CH2N, EVENTOUT | ADC_IN8 |
| 19 | 15 | 15 | D2 | PB1 | I/O | TIM3_CH4, TIM14_CH1, TIM1_CH3N | ADC_IN9 |
| 20 | 16 | | | PB2 | I/O | - | - |
| 21 | | | | PB10 | I/O | TIM2_CH3, I2C1_SCL ⁽²⁾ , I2C2_SCL ⁽³⁾ | I2C 端口, 支持超快模式 |
| 22 | | | | PB11 | I/O | TIM2_CH4, EVENTOUT, I2C1_SDA ⁽²⁾ , I2C2_SDA ⁽³⁾ | I2C 端口, 支持超快模式 |
| 23 | | 16 | E1 | GND | S | 芯片地 | |
| 24 | 17 | 17 | D1 | VDD | S | 数字电源 | |
| 25 | | | | PB12 | I/O | TIM1_BKIN, EVENTOUT, SPI1 NSS ⁽²⁾ , SPI2 NSS ⁽³⁾ | - |
| 26 | | | | PB13 | I/O | TIM1_CH1N, SPI1_SCK ⁽²⁾ , SPI2_SCK ⁽³⁾ | - |
| 27 | | | | PB14 | I/O | TIM1_CH2N, TIM15_CH1, SPI1_MISO ⁽²⁾ , SPI2_MISO ⁽³⁾ | - |
| 28 | | | | PB15 | I/O | TIM1_CH3N, TIM15_CH1N, TIM15_CH2, SPI1_MOSI ⁽²⁾ , SPI2_MOSI ⁽³⁾ | RTC_REFIN |
| 29 | 18 | 18 | C1 | PA8 | I/O | USART1_CK, TIM1_CH1, EVENTOUT, CKO | - |
| 30 | 19 | 19 | B1 | PA9 | I/O | USART1_TX, TIM1_CH2, TIM15_BKIN, | I2C 端口, 支持超快模式 |

| | | | | | | I2C1_SCL | |
|----|----|----|----|--------------------------------|-----|---|----------------|
| 31 | 20 | 20 | C2 | PA10 | I/O | USART1_RX, TIM1_CH3, TIM17_BKIN, I2C1_SDA | I2C 端口, 支持超快模式 |
| 32 | 21 | | | PA11 | I/O | USART1_CTS, TIM1_CH4, EVENTOUT | - |
| 33 | 22 | | | PA12 | I/O | USART1_RTS, TIM1_ETR, EVENTOUT | - |
| 34 | 23 | 21 | A1 | PA13 (SWDIO) ⁽²⁾ | I/O | IR_OUT, SWDIO, USART6_RX, USART7_RX, USART8_RX | - |
| 35 | | | | PF6 | I/O | I2C1_SCL ⁽²⁾ , I2C2_SCL ⁽³⁾ | I2C 端口, 支持超快模式 |
| 36 | | | | PF7 | I/O | I2C1_SDA ⁽²⁾ , I2C2_SDA ⁽³⁾ | I2C 端口, 支持超快模式 |
| 37 | 24 | 22 | A2 | PA14 (SWCLK) ⁽²⁾ | I/O | USART1_TX ⁽²⁾ , USART2_TX ⁽³⁾ , SWCLK, USART6_TX, USART7_TX, USART8_TX | - |
| 38 | 25 | 23 | | PA15 | I/O | SPI1_NSS, I2S1_WS, TIM2_CH_ETR, EVENTOUT, USART1_RX ⁽²⁾ , USART2_RX ⁽³⁾ , USART6_CK_RTS, USART7_CK_RTS, USART8_CK_RTS | - |
| 39 | 26 | 24 | B2 | PB3 | I/O | SPI1_SCK, I2S1_CK, TIM2_CH2, EVENTOUT | - |
| 40 | 27 | 25 | | PB4 | I/O | SPI1_MISO, I2S1_MCK, TIM3_CH1, EVENTOUT | - |
| 41 | 28 | 26 | | PB5 | I/O | SPI1_MOSI, I2S1_SD, I2C1_SMBA, TIM16_BKIN, TIM3_CH2 | - |
| 42 | 29 | 27 | A3 | PB6 | I/O | I2C1_SCL, USART1_TX, TIM16_CH1N, USART6_TX, USART7_TX, USART8_TX | I2C 端口, 支持超快模式 |
| 43 | 30 | 28 | A4 | PB7 | I/O | I2C1_SDA, USART1_RX, | I2C 端口, 支持超快模式 |

| | | | | | | | |
|----|----|---|----|-------|-----|--|----------------|
| | | | | | | TIM17_CH1N, USART6_RX, USART7_RX, USART8_RX | |
| 44 | 31 | 1 | A5 | BOOT0 | I | 启动方式选择 | |
| 45 | 32 | | | PB8 | I/O | I2C1_SCL, TIM16_CH1 | I2C 端口, 支持超快模式 |
| 46 | | | | PB9 | I/O | I2C1_SDA, IR_OUT, TIM17_CH1, EVENTOUT | I2C 端口, 支持超快模式 |
| 47 | 0 | | | GND | S | 芯片地 | |
| 48 | 1 | | | VDD | S | 数字电源 | |

说明:

- (1) 适用于 CS32F031x6 系列
- (2) 适用于 CS32F031x8 系列
- (3) 复位后, 这些引脚被配置为 SWDIO 和 SWCLK 复用功能时, SWDIO 引脚上的内部上拉电阻和 SWCLK 引脚上的内部下拉电阻有效。

5 I/O 复用

5.1 PA 口复用功能

表 3 PA 口复用功能描述

| 引脚名称 | 复用功能 0 | 复用功能 1 | 复用功能 2 | 复用功能 3 | 复用功能 4 | 复用功能 5 | 复用功能 6 | 复用功能 7 |
|------|---------------------------|--|--------------|-------------------|----------------------------------|----------------------------------|----------------------------------|----------------------------------|
| PA0 | | USART1_CTS ⁽²⁾ USART2_CTS ⁽³⁾ | TIM2_CH1_ETR | | | | | |
| PA1 | EVENTOUT | USART1_RTS ⁽²⁾ USART2_RTS ⁽³⁾ | TIM2_CH2 | | | | | |
| PA2 | TIM15_CH1 ⁽¹⁾ | USART1_TX ⁽²⁾ USART2_TX ⁽³⁾ | TIM2_CH3 | | | | | |
| PA3 | TIM15_CH2 ⁽¹⁾ | USART1_RX ⁽²⁾ USART2_RX ⁽³⁾ | TIM2_CH4 | | | | | |
| PA4 | SPI1_NSS, I2S1_WS | USART1_CK ⁽²⁾ USART2_CK ⁽³⁾ | | | TIM14_CH1 | USART6_TX ⁽¹⁾ | | |
| PA5 | SPI1_SCK, I2S1_CK | | TIM2_CH1_ETR | USART7_TX | | USART6_RX ⁽¹⁾ | | USART8_TX ⁽¹⁾ |
| PA6 | SPI1_MISO, I2S1_MCK | TIM3_CH1 | TIM1_BKIN | USART7_RX | | TIM16_CH1 | EVENTOUT | USART8_RX ⁽¹⁾ |
| PA7 | SPI1_MOSI, I2S1_SD | TIM3_CH2 | TIM1_CH1N | USART7_CK_R TS | TIM14_CH1 | TIM17_CH1 | EVENTOUT | USART8_CK _RTS ⁽¹⁾ |
| PA8 | CKO | USART1_CK | TIM1_CH1 | EVENTOUT | | | | |
| PA9 | TIM15_BKIN ⁽¹⁾ | USART1_TX | TIM1_CH2 | | I2C1_SCL | | | |
| PA10 | TIM17_BKIN | USART1_RX | TIM1_CH3 | | I2C1_SDA | | | |
| PA11 | EVENTOUT | USART1_CTS | TIM1_CH4 | | | | | |
| PA12 | EVENTOUT | USART1_RTS | TIM1_ETR | | | | | |
| PA13 | SWDIO | IR_OUT | | | USART6_RX ⁽¹⁾ | USART7_RX | USART8_RX ⁽¹⁾ | |
| PA14 | SWCLK | USART1_TX ⁽²⁾ USART2_TX ⁽³⁾ | | | USART6_TX ⁽¹⁾ | USART7_TX | USART8_TX ⁽¹⁾ | |
| PA15 | SPI1_NSS, I2S1_WS | USART1_RX ⁽²⁾ USART2_RX ⁽³⁾ | TIM2_CH1_ETR | EVENTOUT | USART6_CK_R TS ⁽¹⁾ | USART7_CK_R TS ⁽¹⁾ | USART8_CK_R TS ⁽¹⁾ | |

(1) 适用于 CS32F031Gxxxx/Kxxxx/Cxxxx/Exxxx 系列

(2) 适用于 CS32F031x6 系列

(3) 适用于 CS32F031x8 系列

5.2 PB 口复用功能

表 4 PB 口复用功能描述

| 引脚名称 | 复用功能 0 | 复用功能 1 | 复用功能 2 | 复用功能 3 | 复用功能 4 | 复用功能 5 |
|------|--|--|------------|--------------------------|--------------------------|--------------------------|
| PB0 | EVENTOUT | TIM3_CH3 | TIM1_CH2N | | | |
| PB1 | TIM14_CH1 | TIM3_CH4 | TIM1_CH3N | | | |
| PB2 | | | | | | |
| PB3 | SPI1_SCK, I2S1_CK | EVENTOUT | TIM2_CH2 | | | |
| PB4 | SPI1_MISO, I2S1_MCK | TIM3_CH1 | EVENTOUT | | | |
| PB5 | SPI1_MOSI, I2S1_SD | TIM3_CH2 | TIM16_BKIN | I2C1_SMBA | | |
| PB6 | USART1_TX | I2C1_SCL | TIM16_CH1N | USART6_TX ⁽¹⁾ | USART7_TX ⁽¹⁾ | USART8_TX ⁽¹⁾ |
| PB7 | USART1_RX | I2C1_SDA | TIM17_CH1N | USART6_RX ⁽¹⁾ | USART7_RX ⁽¹⁾ | USART8_RX ⁽¹⁾ |
| PB8 | | I2C1_SCL | TIM16_CH1 | | | |
| PB9 | IR_OUT | I2C1_SDA | TIM17_CH1 | EVENTOUT | | |
| PB10 | | I2C1_SCL ⁽²⁾ I2C2_SCL ⁽³⁾ | TIM2_CH3 | | | |
| PB11 | EVENTOUT | I2C1_SDA ⁽²⁾ I2C2_SDA ⁽³⁾ | TIM2_CH4 | | | |
| PB12 | SPI1_NSS ⁽²⁾ SPI2_NSS ⁽³⁾ | EVENTOUT | TIM1_BKIN | | | |
| PB13 | SPI1_SCK ⁽²⁾ SPI2_SCK ⁽³⁾ | | TIM1_CH1N | | | |
| PB14 | SPI1_MISO ⁽²⁾ SPI2_MISO ⁽³⁾ | TIM15_CH1 ⁽¹⁾ | TIM1_CH2N | | | |
| PB15 | SPI1_MOSI ⁽²⁾ SPI2_MOSI ⁽³⁾ | TIM15_CH2 ⁽¹⁾ | TIM1_CH3N | TIM15_CH1 ⁽¹⁾ | | |

(1) 适用于 CS32F031Gxxxx/Kxxxx/Cxxxx/Exxxx 系列

(2) 适用于 CS32F031x6 系列

(3) 适用于 CS32F031x8 系列

本资料为芯海科技专有财产，非经许可，不得复制、翻印或转变其他形式使用。

This document is exclusive property of CHIPSEA and shall not be reproduced or copied or transformed to any other format without prior permission of CHIPSEA

6 存储器

图 6 存储器映射 (F031G6/K6/C6/E6)

| | |
|-------------|---|
| 0x0000 0000 | Flash,system memory or SRAM, configured by BOOT |
| 0x0000 8000 | Reserved |
| 0x0800 0000 | Flash Code Memory |
| 0x0800 8000 | Reserved |
| 0x1FFF EC00 | System Memory |
| 0x1FFF F800 | Option Bytes |
| 0x1FFF F840 | Flash Data Memory |
| 0x1FFF F900 | Reserved |
| 0x2000 0000 | SRAM |
| 0x2000 1000 | Reserved |
| 0x4000 0000 | APB |
| 0x4000 8000 | Reserved |
| 0x4001 0000 | APB |
| 0x4001 8000 | Reserved |
| 0x4002 0000 | AHB1 |
| 0x4002 4400 | Reserved |
| 0x4800 0000 | AHB2 |
| 0x4800 1800 | Reserved |
| 0xE000 0000 | Cortex-M0 Internal Peripherals |
| 0xE010 0000 | Reserved |
| 0xFFFF FFFF | |

本资料为芯海科技专有财产，非经许可，不得复制、翻印或转变其他形式使用。

This document is exclusive property of CHIPSEA and shall not be reproduced or copied or transformed to any other format without prior permission of CHIPSEA

图 7 存储器映射 (F031K8/C8)

| | |
|-------------|--|
| 0x0000 0000 | Flash, system memory or SRAM, configured by BOOT |
| 0x0001 0000 | Reserved |
| 0x0800 0000 | Flash Code Memory |
| 0x0801 0000 | Reserved |
| 0x1FFF EC00 | System Memory |
| 0x1FFF F800 | Option Bytes |
| 0x1FFF F840 | Flash Data Memory |
| 0x1FFF F900 | Reserved |
| 0x2000 0000 | SRAM |
| 0x2000 2000 | Reserved |
| 0x4000 0000 | APB |
| 0x4000 8000 | Reserved |
| 0x4001 0000 | APB |
| 0x4001 8000 | Reserved |
| 0x4002 0000 | AHB1 |
| 0x4002 4400 | Reserved |
| 0x4800 0000 | AHB2 |
| 0x4800 1800 | Reserved |
| 0xE000 0000 | Cortex-M0 Internal Peripherals |
| 0xE010 0000 | Reserved |
| 0xFFFF FFFF | |

表 5 存储器映射表

| 存储器 | 起始地址 | 大小 | |
|-----------------------------|-------------|-----------------|-----------|
| | | F031G6/K6/C6/E6 | F031K8/C8 |
| Flash, 系统存储区或 SRAM, 由启动选项配置 | 0x0000 0000 | 32K Bytes | 64K Bytes |
| Flash 程序存储区 | 0x0800 0000 | 32K Bytes | 64K Bytes |
| 系统存储区 | 0x1FFF EC00 | 3K Bytes | 3K Bytes |
| 选项字节 | 0x1FFF F800 | 64bytes | 64bytes |
| FLASH 数据存储区 | 0x1FFF F840 | 192bytes | 192bytes |
| SRAM | 0x2000 0000 | 4K Bytes | 8K Bytes |
| APB | TIM2 | 1K Bytes | 1K Bytes |
| | TIM3 | 1K Bytes | 1K Bytes |
| | Reserved | 2K Bytes | 2K Bytes |

本资料为芯海科技专有财产，非经许可，不得复制、翻印或转变其他形式使用。

This document is exclusive property of CHIPSEA and shall not be reproduced or copied or transformed to any other format without prior permission of CHIPSEA

| | | | | |
|------|--------------------------------|-------------|----------|----------|
| | TIM6 | 0x4000 1000 | 1K Bytes | 1K Bytes |
| | TIM7 | 0x4000 1400 | - | - |
| | Reserved | 0x4000 1800 | 2K Bytes | 2K Bytes |
| | TIM14 | 0x4000 2000 | 1K Bytes | 1K Bytes |
| | Reserved | 0x4000 2400 | 1K Bytes | 1K Bytes |
| | RTC | 0x4000 2800 | 1K Bytes | 1K Bytes |
| | WWDT | 0x4000 2C00 | 1K Bytes | 1K Bytes |
| | FWDT | 0x4000 3000 | 1K Bytes | 1K Bytes |
| | Reserved | 0x4000 3400 | 1K Bytes | 1K Bytes |
| | SPI2 | 0x4000 3800 | 1K Bytes | 1K Bytes |
| | Reserved | 0x4000 3C00 | 2K Bytes | 2K Bytes |
| | USART2 | 0x4000 4400 | 1K Bytes | 1K Bytes |
| | USART3 | 0x4000 4800 | - | - |
| | USART4 | 0x4000 4C00 | - | - |
| | USART5 | 0x4000 5000 | - | - |
| | I2C1 | 0x4000 5400 | 1K Bytes | 1K Bytes |
| | I2C2 | 0x4000 5800 | 1K Bytes | 1K Bytes |
| | Reserved | 0x4000 5C00 | 5K Bytes | 5K Bytes |
| | PMU | 0x4000 7000 | 1K Bytes | 1K Bytes |
| | Reserved | 0x4000 7400 | 3K Bytes | 3K Bytes |
| | SYSCFG | 0x4001 0000 | 1K Bytes | 1K Bytes |
| | EXTI | 0x4001 0400 | 1K Bytes | 1K Bytes |
| | Reserved | 0x4001 0800 | 3K Bytes | 3K Bytes |
| | USART6 | 0x4001 1400 | 1K Bytes | 1K Bytes |
| | USART7 | 0x4001 1800 | 1K Bytes | 1K Bytes |
| | USART8 | 0x4001 1C00 | 1K Bytes | 1K Bytes |
| | Reserved | 0x4001 2000 | 1K Bytes | 1K Bytes |
| | ADC | 0x4001 2400 | 1K Bytes | 1K Bytes |
| | Reserved | 0x4001 2800 | 1K Bytes | 1K Bytes |
| | TIM1 | 0x4001 2C00 | 1K Bytes | 1K Bytes |
| | SPI1/I2S1 | 0x4001 3000 | 1K Bytes | 1K Bytes |
| | Reserved | 0x4001 3400 | 1K Bytes | 1K Bytes |
| | USART1 | 0x4001 3800 | 1K Bytes | 1K Bytes |
| | Reserved | 0x4001 3C00 | 1K Bytes | 1K Bytes |
| | TIM15 | 0x4001 4000 | 1K Bytes | 1K Bytes |
| | TIM16 | 0x4001 4400 | 1K Bytes | 1K Bytes |
| | TIM17 | 0x4001 4800 | 1K Bytes | 1K Bytes |
| | Reserved | 0x4001 4C00 | 3K Bytes | 3K Bytes |
| | DBGMCU | 0x4001 5800 | 1K Bytes | 1K Bytes |
| | Reserved | 0x4001 5C00 | 9K Bytes | 9K Bytes |
| AHB1 | DMA | 0x4002 0000 | 1K Bytes | 1K Bytes |
| | Reserved | 0x4002 0400 | 3K Bytes | 3K Bytes |
| | RCU | 0x4002 1000 | 1K Bytes | 1K Bytes |
| | Reserved | 0x4002 1400 | 3K Bytes | 3K Bytes |
| | Flash interface | 0x4002 2000 | 1K Bytes | 1K Bytes |
| | Reserved | 0x4002 2400 | 3K Bytes | 3K Bytes |
| | CRC | 0x4002 3000 | 1K Bytes | 1K Bytes |
| | Reserved | 0x4002 3400 | 3K Bytes | 3K Bytes |
| AHB2 | GPIOA | 0x4800 0000 | 1K Bytes | 1K Bytes |
| | GPIOB | 0x4800 0400 | 1K Bytes | 1K Bytes |
| | GPIOC | 0x4800 0800 | 1K Bytes | 1K Bytes |
| | GPIOD | 0x4800 0C00 | - | - |
| | Reserved | 0x4800 1000 | 1K Bytes | 1K Bytes |
| | GPIOF | 0x4800 1400 | 1K Bytes | 1K Bytes |
| | Cortex-M0 internal peripherals | 0xE000 0000 | 1Mbytes | 1Mbytes |

7 功能描述

7.1 ARM® Cortex®-M0 内核

ARM® Cortex®-M0 是一种 ARM 32 位 RISC 处理器。

ARM® Cortex®-M0 支持低功耗和高效的操作，以及高性能的中断响应。相比于其他 8 位和 16 位的微控制器，它具有更高的代码密度，可以应用在更广泛的嵌入式系统中。它具有优异的性能，并且和其他 Cortex-M 处理器兼容。

7.2 存储器

CS32F031 支持以下特性

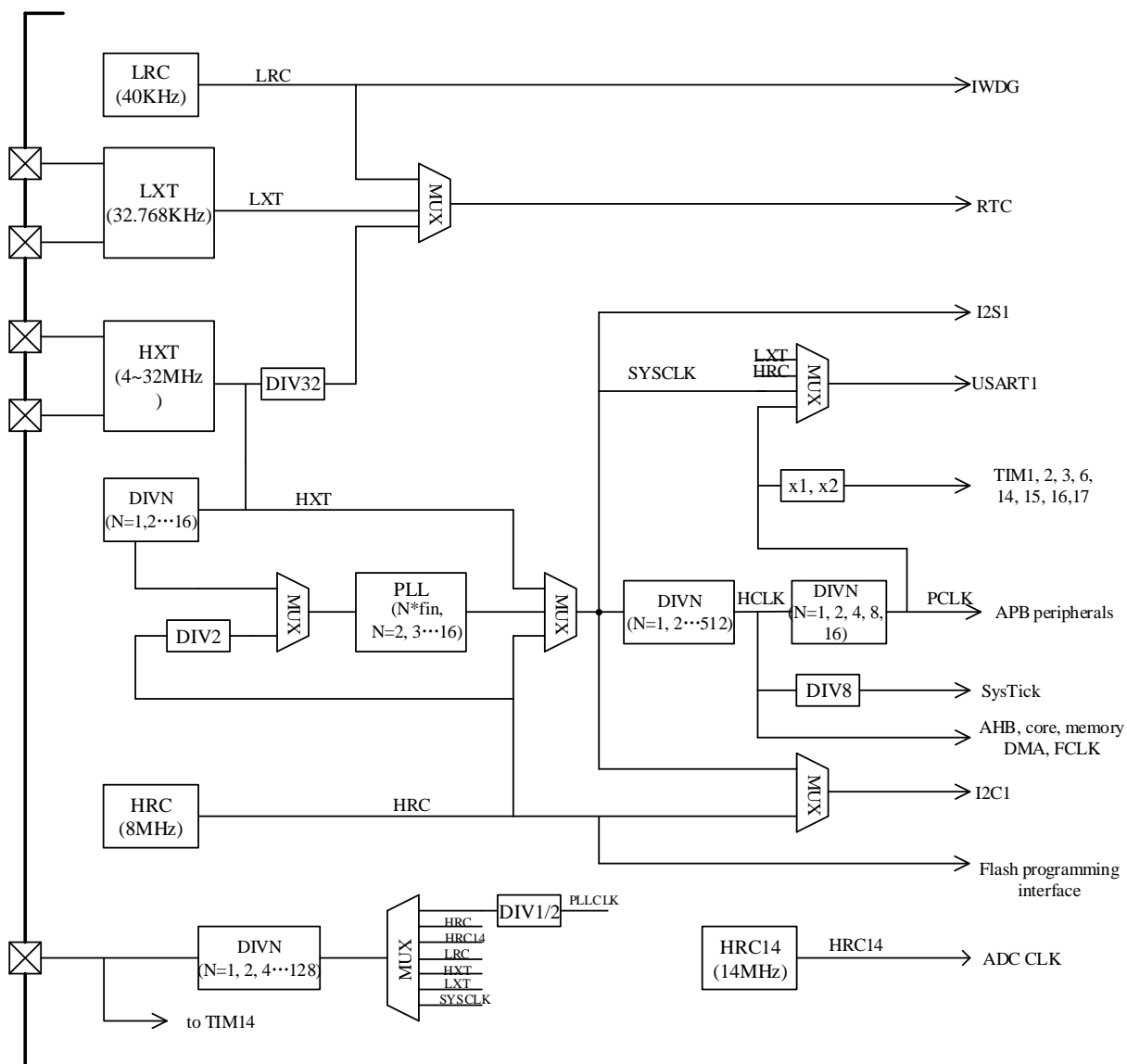
- Flash 有三个部分：
 - 32/64K Bytes Flash 程序存储区
 - 192bytes 的 Flash 数据存储区
 - 选项字节和系统存储区
- 4/8Kbyte 嵌入式 SRAM，可产生奇偶校验异常
Flash 程序存储区支持以扇区为单位的写保护功能。根据选项字节，Flash 程序存储区支持不同级别的读保护。
 - 级别 0：无保护
 - 级别 1：在调试模式或者从 SRAM/bootloader 启动时，无法读写
 - 级别 2：调试模式和从 SRAM、bootloader 启动功能不可用

7.3 时钟

时钟系统包含下列时钟：

- 8MHz 内部高速 RC 振荡器(HRC)
- 14MHz 内部高速 RC 振荡器(HRC14)
- 40kHz 内部低速 RC 振荡器(LRC)
- 4~32MHz 晶体振荡器(HXT)
- 32.768kHz 晶体振荡器(LXT)
- 倍乘系数为 2, 3, ...16 的锁相环(PLL)

图 8 芯片时钟树



本资料为芯海科技专有财产，非经许可，不得复制、翻印或转变其他形式使用。

This document is exclusive property of CHIPSEA and shall not be reproduced or copied or transformed to any other format without prior permission of CHIPSEA

7.4 工作环境

7.4.1 工作电压

芯片有 3 个不同的电源管脚:

VDD: 为 I/O, Regulator, HXT 模块供电, 电压范围 2.0V 到 5.5V;

VDDA: 为 ADC, HRC, HRC14, PLL, POR/PDR 和 LVD 等模块供电. 电压范围从 VDD 到 5.5V. 当 ADC 工作时, VDDA 应大于 2.4V;

VBAT: 为 RTC, LXT, 和不掉电寄存器供电. 电压范围从 1.65V 到 5.5V。

7.5 启动模式

CS32F031 支持多种启动方式:

表 6 启动模式

| BOOT0 管脚 | nBOOT1 位 | 启动位置 |
|----------|----------|-------|
| 0 | X | 闪存存储器 |
| 1 | 1 | 系统存储器 |
| 1 | 0 | SRAM |

7.6 电源管理

7.6.1 低功耗模式

芯片有 4 种低功耗模式:

- 睡眠模式

在睡眠模式下, 只有 CPU 停止工作, 所有外设继续运行并在发生中断/事件时唤醒 CPU。

- 深度睡眠 1 模式

在深度睡眠模式 1 下, PLL, HRC 和 HXT 被禁止。调压器正常工作, 同时保持 SRAM 和寄存器的内容。任意 EXTI 中断信号将器件从深度睡眠 1 模式唤醒。

- 深度睡眠 2 模式

在深度睡眠模式 2 下, PLL, HRC 和 HXT 被禁止。调压器处于低功耗模式, 同时保持 SRAM 和寄存器内容, 因此深度睡眠 2 的唤醒时间比深度睡眠 1 要长。任意 EXTI 中断信号将器件从深度睡眠 2 模式唤醒。

- 掉电模式

掉电模式下, 调压器关闭, 因此整个 1.5 V 域将断电。进入掉电模式后, 除 RTC 域和掉电电路中的寄存器外, SRAM 和寄存器的内容都将消失。PLL、HSI 和 HSE 晶振也会关闭。当发生外部复位 (NRST 引脚)、IWDG 复位、WKUP 引脚上出现上升沿或者触发 RTC 事件时, 器件退出掉电模式。

7.6.2 RTC 和不掉电寄存器¹

芯片支持备用电源供电, 当 VDD/VDDA 关断时, RTC 和不掉电寄存器可以在 VBAT 域保持其状态。

7.6.3 上电复位/掉电复位(POR/PDR)

芯片包含上电复位和掉电复位电路。上电复位模块 POR 监测 VDD 的电压, 掉电复位模块监测 VDD 和 VDDA 的电压。

¹ VBAT 电压域不能用于 CS32F031E6Y6

此电路始终处于工作状态，可确保器件在电压不低于 2 V 时能够正常工作。当监控的供电电压低于规定阈值 V_{POR}/V_{PDR} 时，器件处于复位模式。

7.6.4 低电压复位模块(LVD)

LVD 用于监视 VDD 电源并将其与 阈值 V_{LVD} 进行比较。当 VDD 低于 V_{LVD} 或高于 V_{LVD} 阈值时，将产生中断。LVD 的阈值是可编程控制的。

7.7 通用输入输出端口(GPIO)

每个 GPIO 引脚都可以由软件配置成输入(带或不带上拉或下拉)、输出(推挽或开漏)或复用的外设功能端口。多数 GPIO 引脚都与数字或模拟的复用外设共用。

在需要的情况下，I/O 引脚的外设功能可以通过一个特定的操作锁定，以避免意外的写入 I/O 寄存器。

7.8 模数转换器(ADC)

CS32F031 包含一个 12 位的逐次逼近型模数转换器。支持最多 13 个通道，包括 10 个外部通道和 3 个内部通道。3 个内部通道分别用来监测 VBAT 的电压，测量内部参考电压和测量芯片的温度。不同通道的转换模式包括单次、扫描模式。在扫描模式下，将自动对选定的模拟输入通道组进行转换。它支持不同的转换设置，包含采样时间、转换器分辨率、数据格式对齐和通道扫描方向选择。

ADC 转换可以由不同定时器产生的软硬件事件触发。ADC 时钟可以是内部 14MHz RC 振荡器产生的，也可以是 PCLK 分频后的时钟产生的，硬件触发 AD 转换与时钟同步。

ADC 内置模拟看门狗功能，它允许监控一路、多路或所有选中的通道，当被监视的信号超过预设的阈值时，将产生中断。

输出数据可以被 DMA 搬运。DMA 单次模式支持搬运一定量数据后将中止 AD 转换；DMA 循环模式允许 AD 转换数据被连续搬运直至 ADC 停止工作。

7.8.1 温度传感器(TS)

温度传感器模块产生一个与温度成线性关系的输出电压 TS_OUT。TS_OUT 被送入 ADC 的 ADCIN_16 通道，然后被转换为数字码值。为了获得较好的线性，温度传感器需要首先被校准。校准值被存在系统存储器区域，它是只读的。

表 7 TS 校准值

| 校准值名称 | 描述 | 地址 |
|-------------|--|---------------------------|
| TEMP30_CAL | TS 在 $30^{\circ}\text{C} (+/-5^{\circ}\text{C})$, VDDA=3.3V(+/-10mV)时 ADC 转换数据 | 0x1FFF F7B8 - 0x1FFF F7B9 |
| TEMP110_CAL | TS 在 $110^{\circ}\text{C} (+/-5^{\circ}\text{C})$, VDDA=3.3V(+/-10mV)时 ADC 转换数据 | 0x1FFF F7C2 - 0x1FFF F7C3 |

7.8.2 内部参考电压

内部参考电压 Vrefint 为 ADC 提供一个基准电压输出。Vrefint 接到 ADC_IN17 输入通道。每颗芯片的 Vrefint 电压在量产测试时被测量并存储在系统存储区，它是只读的。

表 8 Vrefint 校准值

| 校准值名称 | 描述 | 存储地址 |
|-------------|--|---------------------------|
| VREFINT_CAL | 数值在 $30^{\circ}\text{C} (\pm 5^{\circ}\text{C})$ ， VDDA=3.3V ($\pm 10\text{mV}$) 获得 | 0x1FFF F7BA - 0x1FFF F7BB |

7.8.3 VBAT 监测

电池电压 VBAT 被送入 ADC 通道 ADC_IN18 来监控其是否位于正常工作范围内。由于 VBAT 电压可能高于 VDDA，超出 ADC 输入范围。因此 VBAT 电压被内部连接到一个 1/2 分压电路，于是转换数值是 VBAT 电压的一半。

7.9 定时器

芯片包括 1 个高级定时器、6 个通用定时器和 1 个基本定时器

表 9 各类定时器 特点对比

| 类型 | 定时器 | 计数器位宽 | 方向 | 预分频数 | 产生 DMA 请求 | 通道数 | 互补通道数 |
|------|-------|-------|--------------|-----------------|-----------|-----|-------|
| 高级控制 | TIM1 | 16 位 | 向上, 向下, 向上/下 | 1 ~65536 中的任意整数 | 可以 | 4 | 3 |
| 通用 | TIM2 | 32 位 | 向上, 向下, 向上/下 | 1 ~65536 中的任意整数 | 可以 | 4 | 0 |
| | TIM3 | 16 位 | 向上, 向下, 向上/下 | 1 ~65536 中的任意整数 | 可以 | 4 | 0 |
| | TIM14 | 16 位 | 向上 | 1 ~65536 中的任意整数 | 不可以 | 1 | 0 |
| | TIM15 | 16 位 | 向上 | 1 ~65536 中的任意整数 | 可以 | 2 | 1 |
| | TIM16 | 16 位 | 向上 | 1 ~65536 中的任意整数 | 可以 | 1 | 1 |
| | TIM17 | 16 位 | 向上 | 1 ~65536 中的任意整数 | 可以 | 1 | 1 |
| 基本 | TIM6 | 16 位 | 向上 | 1 ~65536 中的任意整数 | 可以 | 0 | 0 |

7.9.1 高级定时器 (TIM1)

TIM1 是一个带有 16 位预分频的 16 位计数器，可以向上、向下和向上向下计数。它有四个通道，都支持输入捕获和输出比较。输出的 PWM 信号可以用用来控制电机或者应用在功耗管理上。各个通道的互补输出共用同一个嵌入式死区时间配置。

TIM1 可以通过通过定时器之间的连接特性，和其它定时器协同工作。当打开 DMA 使能时，DMA 可以读写 TIM1 的寄存器。

在调试模式下，可以让计数器停止计数。

7.9.2 通用定时器 (TIM2, 3, 14, 15, 16, 17)

6 个通用定时器可以用来作为简单的时间基准或输出 PWM。

● TIM2/TIM3

TIM2 是一个带有 16 位预分频的 32 位计数器，可以向上、向下和向上向下计数。TIM3 是一个带有 16 位预分频的 16 位计数器，可以向上、向下和向上向下计数。它们有四个通道，都支持独立的输入捕获、输出比较和产生 PWM。

TIM2 和 TIM3 可以通过定时器之间的连接特性，和其它定时器协同工作。当打开 DMA 使能时，DMA 可以读写 TIM2 和 TIM3 的寄存器。

在调试模式下，可以让计数器停止计数。

● TIM14

TIM14 是一个带有 16 位预分频的 16 位计数器，只有 1 个通道用于输入捕获、输出比较和产生 PWM。

在调试模式下，可以让计数器停止计数。

● TIM15/TIM16/TIM17

TIM15（双通道）、TIM16（单通道）和 TIM17（单通道）都带有一个 16 位预分频和 16 位计数器。通道可以输入捕获、输出比较和产生 PWM。一个可配置的死区时间发生器可用于互补通道输出。

当 DMA 使能打开时，它们的寄存器可以被 DMA 读写。

在调试模式下，可以让计数器停止计数。

7.9.3 基本定时器(TIM6)

一个可以作为定时基准的 16 位计数定时器。

7.9.4 独立看门狗定时器(FWDT)

独立看门狗定时器以内部 40kHz LRC 作为时钟源，独立于主时钟。FWDT 由一个 8 位的预分频器和 1 个带窗选项的 12 位向下计数器组成，可以在深度睡眠 1、深度睡眠 2 和掉电模式下独立运行。当计数器计到 0 时，FWDT 产生一个复位。

在调试模式下，可以让计数器停止计数。

7.9.5 窗看门狗定时器(WWDT)

窗看门狗定时器以 PCLK 作为主时钟，由 1 个预分频器和 7 位自由运行的向下计数器组成。当计数器计到 0x40 时，产生提醒中断标志。当计数器计到 0x3F 时，产生一个复位。

在调试模式下，可以让计数器停止计数。

7.9.6 滴答定时器(SysTick)

滴答定时器可以用于实时操作系统，同时也是一个标准的向下计数器。

它是以 HCLK 或 HCLK/8 作为时钟源，具有自动重加载功能的 24 位向下计数器。当计数器计到 0 时，滴答定时器会产生一个可屏蔽的系统中断。

7.10 直接内存存取(DMA)

DMA 控制器实现了外设和存储器之间数据的硬件传输。DMA 有 5 个通道。每个通道连接到特定的外设单元，包括 SPIx、I2S、I2Cx、USARTx 和 TIMx，来管理读写存储器的请求。内部的仲裁器用来处理 DMA 请求的优先级。

DMA 控制器包括循环数据传输模式，当当前数据传输完成时，不需要用户软件参与。

7.11 中断和事件

Cortex-M0 集成的嵌入向量中断控制器能够高效的处理异常和中断。更多细节请参考 Cortex-M0 技术参考手册。

EXTI 包含 32 个独立的边沿检测器，产生中断请求和事件给到 CPU 或中断控制器。EXTI 有三种触发方式，包括上升沿触发、下降沿触发和双边沿触发。每个边沿检测器可以独立的配置和使能。

7.12 实时时钟(RTC)和不掉电寄存器

RTC 有以下特性：

- BCD 格式的日历支持亚秒、秒、分钟、小时、星期、日期、月份、年份
- 自动补偿夏令时及月份的天数，如 28 天、29 天(闰年)、30 天、31 天闹钟支持配置亚秒、秒、分钟、小时、日期和星期，可以唤醒深度睡眠模式 1、深度睡眠模式 2 和掉电模式
- 支持时间戳功能，保存日历内容，唤醒深度睡眠模式 1、深度睡眠模式 2 和掉电模式
- 侵入事件检测，复位 5 个不掉电寄存器并唤醒深度睡眠模式 1、深度睡眠模式 2 和掉电模式

- 支持数字校准，补偿 RTC 时钟源的误差
- 支持外部精准时钟检测（50Hz 或 60Hz）自动校准日历
- 支持亚秒级快慢调整

RTC 和不掉电寄存器有 VDD 或 VBAT 脚供电。5 个 32 位的不掉电寄存器不会被系统复位和电源复位清除。

7.13 串行外设总线 (SPI) /集成电路内置音频总线 (I2S)

SPI/I2S 模块可以通过 SPI 协议或者 I2S 音频协议和外部器件通信。

SPI 支持主从机的发送和接收。它支持全双工模式和简单模式，最大通信速率可以达到 18Mbit/s。模块还实现了硬件 CRC 功能。

I2S 仅可以工作在主机半双工和从机半双工模式，支持 4 种音频标准：飞利浦标准、MSB 对齐标准、LSB 对齐标准、PCM 标准。

SPI 和 I2S 都可以用 DMA 实现数据的连续传输。

表 10 SPIx 功能表

| SPI 特性/模式 | SPI1 | SPI2 |
|------------|------|------|
| Rx/Tx FIFO | √ | √ |
| NSS 脉冲模式 | √ | √ |
| TI 模式 | √ | √ |
| 硬件 CRC | √ | √ |
| I2S 功能 | √ | X |

7.14 通用同步异步收发器 (USART)

通用同步异步收发器为 MCU 和外部器件连续通信提供了一个通用接口。USART 支持同步、异步全双工通信和单线半双工通信。一个可编程的波特率发生器，可提供不同的通信波特率，最高可达 6Mbit/s。

除此之外，USART 也支持 DMA 连续传输、自动波特率检测、多处理器通信、Modbus 通信、智能卡模式、LIN 模式、IrDA 模式、RS232 硬件流控和 RS485 驱动使能。USART1 可以将 MCU 从深度睡眠模式 1 和深度睡眠模式 2 唤醒。

表 11 USARTx 功能表

| USART 特性/模式 | USART1 | USART2 | USART6 | USART7 | USART8 |
|--------------|--------|--------|--------|--------|--------|
| 异步全双工通信 | √ | √ | √ | √ | √ |
| 同步模式 | √ | √ | √ | √ | √ |
| 单线半双工模式 | √ | √ | √ | √ | √ |
| DMA 功能 | √ | √ | X | X | X |
| 自动波特率检测 | √ | X | X | X | X |
| 多处理器通信 | √ | √ | √ | √ | √ |
| Modbus 通信 | √ | X | X | X | X |
| 智能卡模式 | √ | X | X | X | X |
| LIN 模式 | √ | X | X | X | X |
| IrDA 模式 | √ | X | X | X | X |
| RS232 硬件流控 | √ | √ | X | X | X |
| RS485 驱动使能 | √ | √ | √ | √ | √ |
| 唤醒深度睡眠模式 1、2 | √ | X | X | X | X |

7.15 I2C 接口

I2C 模块提供了一个工业级标准的 I2C 接口，可以工作在主机模式和从机模式。接口实现了标准模式、快速模式和超快速模式，CRC 计算和检查，系统管理总线和电源管理总线。I2C 接口支持 DMA 模式用于存储器和外设之间的高速通信，无需 CPU 参与。

主要包括以下特性：

- 支持主机模式和从机模式
- 多主机功能
- 可配置的数字滤波器和模拟滤波器
- 支持 7 位和 10 位地址模式
- 支持标准模式（高达 100kHz）、快速模式（高达 400kHz）和超快速模式（高达 1MHz）
- 系统管理总线和电源管理总线
- PEC 生成和检查
- 唤醒深度睡眠模式 1 和深度睡眠模式 2
- 支持 DMA 模式

表 12 I2Cx 功能表

| I2C 特性/模式 | I2C1 | I2C2 |
|--------------|------|------|
| 7 位地址模式 | √ | √ |
| 10 位地址模式 | √ | √ |
| 标准模式 | √ | √ |
| 快速模式 | √ | √ |
| 超快速模式 | √ | √ |
| 独立工作时钟 | √ | X |
| 系统管理总线 | √ | X |
| 唤醒深度睡眠模式 1、2 | √ | X |

7.16 循环冗余校验

在数据存储和通信领域，为了确保数据的正确性，循环冗余校验被广泛使用。

CRC 计算单元可以根据固定的 CRC 多项式计算出 32 位的 CRC 码。

7.17 串行调试端口(SWD-DP)

ARM Cortex-M0 内部集成调试组件，SW 调试口用来连接这些调试组件。

8 电气特性

8.1 说明

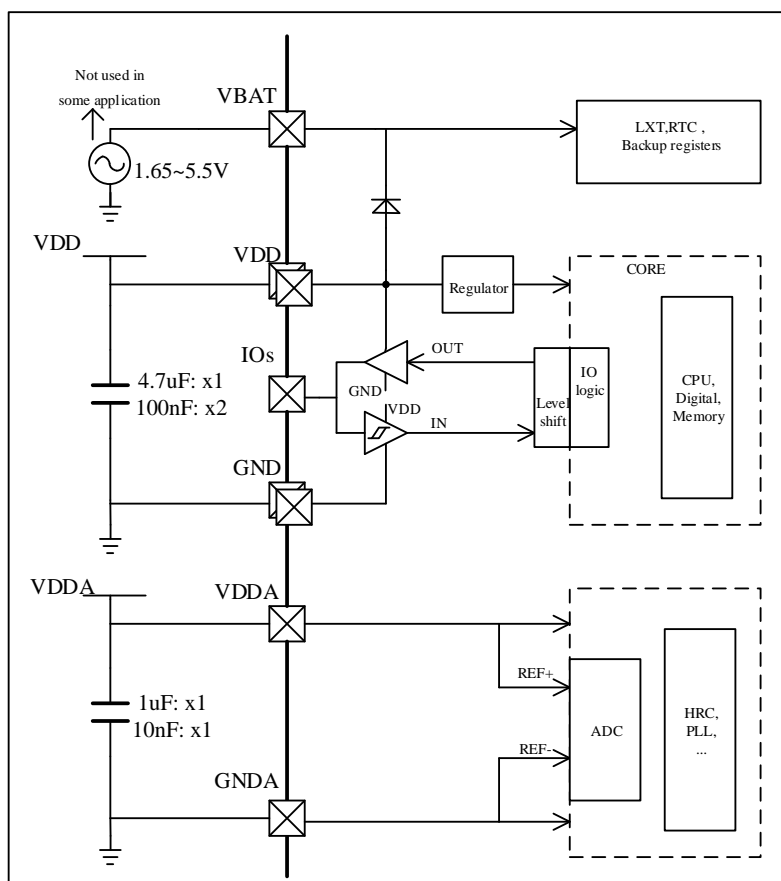
图 9 给出了 CS32F031 的电源方案。

除非特别说明，所有典型值是基于温度 $T_{range}=25^{\circ}\text{C}$ 和电压 $VDD=3.3\text{V}$ 的条件下给出的。

除非特别说明，所有电压都是以 GND 为参考的。

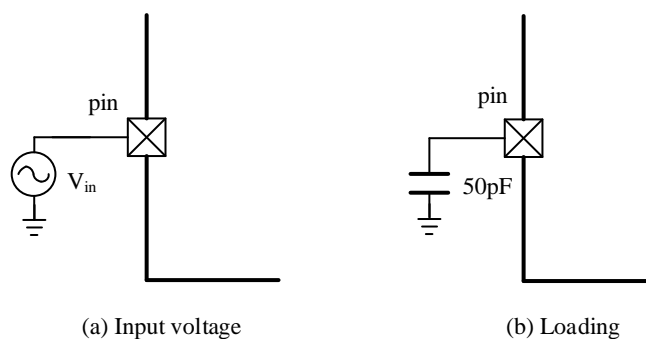
除非特别说明，所有数据由设计保证。

图 9 电源方案



引脚的输入电压和负载等测试条件如图 10 所示。

图 10 引脚的输入电压和负载条件



8.2 绝对最大额定值

表 13 绝对最大额定值

| 符号 | 描述 | 最小值 | 典型值 | 最大值 | 单位 |
|---------------------------|-------------------|---------|-----|-----|----|
| VDD | VDD 和 GND 之间的电压 | -0.3 | - | 6 | V |
| VDDA | VDDA 和 GND 之间的电压 | -0.3 | - | 6 | V |
| VBAT | VBAT 和 GND 之间的电压 | -0.3 | - | 6 | V |
| VDD-VDDA | VDD 和 VDDA 之间的电压 | - | - | 0.4 | V |
| V _{i/o} | I/O 管脚电压 | GND-0.3 | - | 6 | V |
| T _{storage} | 存储温度 | -65 | - | 150 | °C |
| T _{junction} | 结温 | - | - | 150 | °C |
| I _{total-pwr} | 流入 VDD 电源线的总电流 | - | - | 120 | mA |
| I _{total-GND} | 流出 GND 接地线的总电流 | -120 | - | - | mA |
| I _{pwr-pin} | 流入每个电源管脚的电流 | - | - | 100 | mA |
| I _{GND-pin} | 流入每个地管脚的电流 | -100 | - | - | mA |
| I _{total-sunk} | 流入所有 I/O 管脚的总电流 | - | - | 80 | mA |
| I _{total-source} | 流出所有 I/O 管脚的总电流 | -80 | - | - | mA |
| I _{sunk-pin} | 流入任意一个 I/O 管脚的电流 | - | - | 25 | mA |
| I _{source-pin} | 流出任意一个 I/O 管脚的总电流 | -25 | - | - | mA |

8.3 工作条件

表 14 工作条件

| 符号 | 描述 | 最小值 | 典型值 | 最大值 | 单位 |
|-----------------------------|---|------|------|------|------|
| V _{VDD-range} | VDD 的工作电压范围 | 2 | - | 5.5 | V |
| V _{VDDA-range} | VDDA 的工作电压范围 | 2 | - | 5.5 | V |
| V _{VBAT-range} | VBAT 的工作电压范围 | 1.65 | - | 5.5 | V |
| T _{range} | 芯片环境温度 | -40 | - | 105 | °C |
| T _{junction-range} | 芯片结温范围 | -40 | - | 125 | °C |
| f _{AHB-clock} | 内部 AHB 时钟频率 | 0 | - | 48 | MHz |
| f _{APB-clock} | 内部 APB 时钟频率 | 0 | - | 48 | MHz |
| V _{I/O-range} | I/O 输入电压范围 | -0.3 | - | 5.5 | V |
| P _{dissipation} | LQFP48 在 T _{range} =105°C 下的功率耗散 | - | - | 377 | mW |
| | QFN32 在 T _{range} =105°C 下的功率耗散 | - | - | 484 | mW |
| | QFN28 在 T _{range} =105°C 下的功率耗散 | - | - | - | mW |
| T _{supply-rise} | VDD/VDDA 上升时间速率 | 0 | - | - | μS/V |
| T _{supply-fall} | VDD/VDDA 下降时间速率 | 20 | - | - | μS/V |
| T _{VDD-POR} | VDD 上电复位阈值 | 1.84 | 1.92 | 2 | V |
| T _{VDD-fall} | VDD 掉电复位阈值 | 1.80 | 1.88 | 1.96 | V |
| T _{VDDA-fall} | VDDA 掉电复位阈值 | 1.80 | 1.88 | 1.96 | V |
| T _{reset-tempo} | V _{VDD-range} ≤ 5.5V 的复位持续时间 | - | 4.2 | 10 | μS |
| | V _{VDD-range} ≤ 3.6V 的复位持续时间 | - | 4.2 | 7.5 | μS |
| V _{LVD} | LVD 上升阈值电压 0 | 2.11 | 2.18 | 2.25 | V |
| | LVD 下降阈值电压 0 | 2.01 | 2.08 | 2.15 | V |
| | LVD 上升阈值电压 1 | 2.20 | 2.28 | 2.36 | V |
| | LVD 下降阈值电压 1 | 2.10 | 2.18 | 2.26 | V |
| | LVD 上升阈值电压 2 | 2.29 | 2.38 | 2.47 | V |
| | LVD 下降阈值电压 2 | 2.19 | 2.28 | 2.37 | V |

本资料为芯海科技专有财产，非经许可，不得复制、翻印或转变其他形式使用。

This document is exclusive property of CHIPSEA and shall not be reproduced or copied or transformed to any other format without prior permission of CHIPSEA

| | | | | |
|--------------|------|------|------|---|
| LVD 上升阈值电压 3 | 2.39 | 2.48 | 2.57 | V |
| LVD 下降阈值电压 3 | 2.29 | 2.38 | 2.47 | V |
| LVD 上升阈值电压 4 | 2.48 | 2.58 | 2.68 | V |
| LVD 下降阈值电压 4 | 2.38 | 2.48 | 2.58 | V |
| LVD 上升阈值电压 5 | 2.58 | 2.68 | 2.78 | V |
| LVD 下降阈值电压 5 | 2.48 | 2.58 | 2.68 | V |
| LVD 上升阈值电压 6 | 2.67 | 2.78 | 2.89 | V |
| LVD 下降阈值电压 6 | 2.57 | 2.68 | 2.79 | V |
| LVD 上升阈值电压 7 | 2.77 | 2.88 | 2.99 | V |
| LVD 下降阈值电压 7 | 2.67 | 2.78 | 2.89 | V |

8.4 I/O 端口特性

表 15 I/O 端口特性

| 符号 | 描述 | 最小值 | 典型值 | 最大值 | 单位 |
|---------------------|---|---|-----|-----------------|-----|
| V_{IH} | 输入高电平 | $0.7*VDD$ | - | - | V |
| V_{IL} | 输入低电平 | - | - | $0.3*VDD$ | V |
| $V_{IL-BOOT0}$ | BOOT0 的低电平输入电压 | - | - | $0.3*VDD - 0.3$ | V |
| V_{OH} | 输出高电平, $ I_{source-pin} =20mA$, $VDD \geq 2.7V$ | $VDD-1.5$ | - | - | V |
| | 输出高电平, $ I_{source-pin} =6mA$ | $VDD-0.4$, $VDD-0.45^{(3)}$, $VDD-0.55^{(4)}$ | - | - | V |
| V_{OL} | 输出低电平, $ I_{sunk-pin} =20mA$, $VDD \geq 2.7V$ | - | - | 1.1 | V |
| | 输出低电平, $ I_{sunk-pin} =6mA$ | - | - | 0.36 | V |
| V_{OL-FMP} | I2C 超快模式, 输出低电平, $ I_{sunk-pin} =20mA$, $VDD \geq 2.7V$ | - | - | 0.4 | V |
| | I2C 超快模式, 输出低电平, $ I_{sunk-pin} =10mA$ | - | - | 0.3 | V |
| $R_{pull-up}$ | I/O 上拉电阻 | 30 | 40 | 55 | kΩ |
| $R_{pull-down}$ | I/O 下拉电阻 | 30 | 40 | 58 | kΩ |
| $I_{leakage}^{(1)}$ | 配置为数字端口时的漏电流, $GND < V_{IO-range} < VDD$ | - | - | ± 0.5 | μA |
| | 配置为数字端口时的漏电流, $VDD < V_{IO-range} < VDDA$ | - | - | ± 0.5 | μA |
| | 配置为模拟端口时的漏电流, $GND < V_{IO-range} < VDDA$ | - | - | ± 0.5 | μA |
| | 配置为模拟端口时的漏电流, $VDD < V_{IO-range} < 5V$ | - | - | 5 | μA |
| $I_{leakage}^{(2)}$ | 配置为数字端口时的漏电流, $GND < V_{IO-range} < VDD$ | - | - | ± 0.8 | μA |
| | 配置为数字端口时的漏电流, $VDD < V_{IO-range} < VDDA$ | - | - | ± 0.8 | μA |
| | 配置为模拟端口时的漏电流, $GND < V_{IO-range} < VDDA$ | - | - | ± 0.8 | μA |
| f_{IO} | GPIOx_OSj[1:0]=x0 时的 IO 输出频率, CL=50pf | - | - | 2 | MHz |
| | GPIOx_OSj[1:0]=01 时的 IO 输出频率, CL=50pf | - | - | 10 | MHz |
| | GPIOx_OSj[1:0]=11 时的 IO 输出频率, CL=30pf, $VDD \geq 2.7V$ | - | - | 50 | MHz |
| | GPIOx_OSj[1:0]=11 时的 IO 输出频率, CL=50pf, VDD $\geq 2.7V$ | - | - | 30 | MHz |
| | GPIOx_OSj[1:0]=11 时的 IO 输出频率, CL=50pf, $VDD < 2.7V$ | - | - | 20 | MHz |
| | I2C 超快模式下的输出频率, CL=50pf | - | - | 2 | MHz |
| $T_{io-fall}$ | GPIOx_OSj[1:0]=x0 时 IO 输出下降时间, CL=50pf | - | - | 12 | nS |

本资料为芯海科技专有财产，非经许可，不得复制、翻印或转变其他形式使用。

This document is exclusive property of CHIPSEA and shall not be reproduced or copied or transformed to any other format without prior permission of CHIPSEA

| | | | | | |
|-----------------------|--|-----|---|----|----|
| | GPIOx_OSj[1:0]=01 时 IO 输出下降时间,CL=50pf | - | - | 11 | nS |
| | GPIOx_OSj[1:0]=11 时 IO 输出下降时间,CL=30pf, VDD≥2.7V | - | - | 6 | nS |
| | GPIOx_OSj[1:0]=11 时 IO 输出下降时间,CL=50pf, VDD≥2.7V | - | - | 8 | nS |
| | GPIOx_OSj[1:0]=11 时 IO 输出下降时间,CL=50pf, VDD<2.7V | - | - | 11 | nS |
| | I2C 超快模式下的输出下降时间, CL=50pf | - | - | 11 | nS |
| T _{io-rise} | GPIOx_OSj[1:0]=x0 时 IO 输出上升时间,CL=50pf | - | - | 15 | nS |
| | GPIOx_OSj[1:0]=01 时 IO 输出上升时间,CL=50pf | - | - | 14 | nS |
| | GPIOx_OSj[1:0]=11 时 IO 输出上升时间,CL=30pf, VDD≥2.7V | - | - | 7 | nS |
| | GPIOx_OSj[1:0]=11 时 IO 输出上升时间,CL=50pf, VDD≥2.7V | - | - | 10 | nS |
| | GPIOx_OSj[1:0]=11 时 IO 输出上升时间,CL=50pf, VDD<2.7V | - | - | 14 | nS |
| T _{ext-pw} | EXTI 可被检测脉宽 | 10 | - | - | nS |
| T _{nrst-fp} | NRST 输入滤波脉冲宽度 | - | - | 60 | nS |
| T _{nrst-nfp} | NRST 输入非滤波脉宽, 2.7V≤V _{VDD-range} ≤3.6V | 300 | - | - | nS |
| | NRST 输入非滤波脉宽, 2V≤V _{VDD-range} ≤3.6V | 500 | - | - | nS |
| | NRST 输入非滤波脉宽, 2V≤V _{VDD-range} ≤5.5V | 390 | - | - | nS |

(1) 2V≤V_{VDD-range}≤3.6V, 2V≤V_{VDDA-range}≤3.6V(2) 2V≤V_{VDD-range}≤5.5V, 2V≤V_{VDDA-range}≤5.5V

(3) 适用于 PF0

(4) 适用于 PC14

8.5 低功耗模式唤醒时间

表 16 低功耗模式唤醒时间

| 符号 | 描述 | 最小值 | 典型值. | 最大值 | 单位 |
|----------------------------|-----------------|-----|--------------|-----|-----|
| T _{wk-sleep} | 睡眠模式的唤醒时间 | - | 5 system clk | - | μ S |
| T _{wk-deepsleep1} | 深度睡眠 1 模式下的唤醒时间 | - | 3 | 5.3 | μ S |
| T _{wk-deepsleep2} | 深度睡眠 2 模式下的唤醒时间 | - | 4 | 7.2 | μ S |
| T _{wk-powerdown} | 掉电模式下的唤醒时间 | - | 57 | 157 | μ S |

8.6 RC 振荡器特性

表 17 HRC 特性

| 符号 | 描述 | 最小值 | 典型值. | 最大值 | 单位 |
|--------------------------|-------------|------|------|-----|-----|
| f _{HRC} | HRC 输出频率 | - | 8 | - | MHz |
| TRIM _{HRC} | HRC 校准精度 | - | - | 1 | % |
| Duty _{HRC} | HRC 占空比 | 46 | - | 54 | % |
| f _{voltage-HRC} | HRC 频率的电压特性 | -0.5 | - | 0.5 | % |
| f _{temp-HRC} | HRC 频率的温度特性 | -2 | - | 2 | % |
| T _{setup_HRC} | HRC 的建立时间 | 0.14 | - | 1.2 | μ S |
| I _{pd-HRC} | HRC 模块功耗 | | 66 | 102 | μ A |

表 18 HRC14 特性

| 符号 | 描述 | 最小值 | 典型值. | 最大值 | 单位 |
|---------------------|---------------|------|------|-----|---------|
| f_{HRC14} | HRC14 输出频率 | - | 14 | - | MHz |
| $TRIM_{HRC14}$ | HRC14 校准精度 | - | - | 1 | % |
| $Duty_{HRC14}$ | HRC14 占空比 | 46 | - | 54 | % |
| $f_{voltage-HRC14}$ | HRC14 频率的电压特性 | -0.5 | - | 0.5 | % |
| $f_{temp-HRC14}$ | HRC14 频率的温度特性 | -2 | - | 2 | % |
| T_{setup_HRC14} | HRC14 的建立时间 | 0.09 | - | 0.5 | μ S |
| $I_{pd-HRC14}$ | HRC14 模块功耗 | | 96 | 152 | μ A |

表 19 LRC 特性

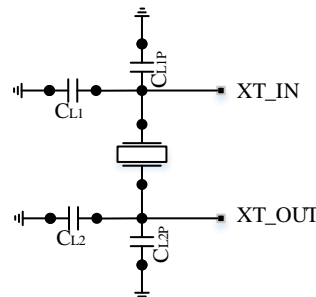
| 符号 | 描述 | 最小值 | 典型值. | 最大值 | 单位 |
|------------------|-----------|-----|------|--|---------|
| f_{LRC} | LRC 输出频率 | 27 | 40 | 62 | kHz |
| T_{setup_LRC} | LRC 的建立时间 | - | - | 84 | μ S |
| I_{pd-LRC} | LRC 模块功耗 | - | 0.71 | 1.27 ⁽¹⁾ , 2.47 ⁽²⁾ | μ A |

(1) VDDA=3.3V, -40°C ≤ T_{range} ≤ 105°C(2) VDDA=5.5V, -40°C ≤ T_{range} ≤ 105°C

8.7 晶振特性

图 11 给出了晶振的晶体和负载及寄生电容等外部条件。

图 11 晶振的晶体和负载及寄生电容



C_{L1} 和 C_{L2} PCB 板上的电容器件, C_{L1P} 和 C_{L2P} 是 PCB 板和封装的寄生电容。

$CL(CL_{LXT} \text{ 或者 } CL_{HXT})$ 是晶振的负载电容。特定的晶体需要接特定范围的负载电容。

$$C'_{L1} = C_{L1} + C_{L1P}$$

$$C'_{L2} = C_{L2} + C_{L2P}$$

$$CL = C'_{L1} * C'_{L2} / (C'_{L1} + C'_{L2})$$

表 20 LXT 特性

| 符号 | 描述 | 最小值 | 典型值. | 最大值 | 单位 |
|--------------|-------------------------------------|-----|------|-----|---------|
| I_{pd-LXT} | LXT 模块功耗, LXTDRV[1:0]=00, 低驱动电流 | - | 0.5 | 0.9 | μ A |
| | LXT 模块功耗, LXTDRV[1:0]=01, 中等驱动电流 | - | - | 1.2 | μ A |
| | LXT 模块功耗, LXTDRV[1:0]=10, | - | - | 1.5 | μ A |

| | | | | | |
|--------------------|--|------|---|-----|--------|
| | 中等驱动电流 | | | | |
| | LXT 模块功耗, LXTDRV[1:0]=11, 高驱动电流 | - | - | 2.0 | µ A |
| gm _{LXT} | LXT 的跨导, LXTDRV[1:0]=00, 低驱动电流 | 1.5 | - | - | µ A /V |
| | LXT 的跨导, LXTDRV[1:0]=01, 中等驱动电流 | 3.5 | - | - | µ A /V |
| | LXT 的跨导, LXTDRV[1:0]=10, 中等驱动电流 | 10.6 | - | - | µ A /V |
| | LXT 的跨导, LXTDRV[1:0]=11, 高驱动电流 | 16.7 | - | - | µ A /V |
| CL _{LXT} | LXT 的负载电容, LXTDRV[1:0]=00, 低驱动电流, -40°C ≤ Trange ≤ 105°C | 4 | - | 6 | pF |
| | LXT 的负载电容, LXTDRV[1:0]=00, 低驱动电流, -40°C ≤ Trange ≤ 85°C | 3 | - | 7 | pF |
| | LXT 的负载电容, LXTDRV[1:0]=01, 中等驱动电流, -40°C ≤ Trange ≤ 105°C | 5 | - | 9 | pF |
| | LXT 的负载电容, LXTDRV[1:0]=01, 中等驱动电流, -40°C ≤ Trange ≤ 105°C | 4 | - | 11 | pF |
| | LXT 的负载电容, LXTDRV[1:0]=10, 中等驱动电流, -40°C ≤ Trange ≤ 105°C | 6 | - | 15 | pF |
| | LXT 的负载电容, LXTDRV[1:0]=10, 中等驱动电流, -40°C ≤ Trange ≤ 105°C | 5 | - | 18 | pF |
| | LXT 的负载电容, LXTDRV[1:0]=11, 高驱动电流, -40°C ≤ Trange ≤ 105°C | 7 | - | 22 | pF |
| | LXT 的负载电容, LXTDRV[1:0]=11, 高驱动电流, -40°C ≤ Trange ≤ 105°C | 5 | - | 23 | pF |
| T _{setup} | LXT 建立时间 | - | 1 | - | s |

表 21 HXT 特性

| 符号 | 描述 | 最小值 | 典型值. | 最大值 | 单位 |
|---------------------|------------------------------------|------|------|------|------|
| f _{HXT-IN} | HXT 频率 | 4 | 8 | 32 | MHz |
| I _{pd-HXT} | 启动时功耗 | - | 1.8 | 6.5 | mA |
| | VDD=3.3V, Rm=30Ω, CL=10pF@8MHz | 0.12 | 0.22 | 0.45 | mA |
| | VDD=3.3V, Rm=45Ω, CL=10pF@8MHz | 0.13 | 0.24 | 0.46 | mA |
| | VDD=3.3V, Rm=30Ω, CL=5pF@32MHz | 0.21 | 0.34 | 0.6 | mA |
| | VDD=3.3V, Rm=30Ω, CL=10pF@32MHz | 0.33 | 0.46 | 0.7 | mA |
| | VDD=3.3V, Rm=30Ω, CL=20pF@32MHz | 0.58 | 0.72 | 0.87 | mA |
| gm _{HXT} | HXT 跨导, HXTDRV[1:0]=00, 低驱动电流 | 0.7 | - | 16.4 | mA/V |
| | HXT 跨导, HXTDRV[1:0]=01, 中等低驱动电流 | 5.0 | - | 27.3 | mA/V |
| | HXT 跨导, HXTDRV[1:0]=10, 中等高驱动电流 | 6.2 | - | 32.6 | mA/V |
| | HXT 跨导, HXTDRV[1:0]=11, 高驱动电流 | 13.1 | - | 43.4 | mA/V |
| CL _{HXT} | HXT 的负载电容 | 5 | 10 | 20 | pF |
| T _{setup} | HXT 建立时间 | - | 1 | - | mS |

本资料为芯海科技专有财产，未经许可，不得复制、翻印或转变其他形式使用。

This document is exclusive property of CHIPSEA and shall not be reproduced or copied or transformed to any other format without prior permission of CHIPSEA

8.8 外部时钟特性

表 22 LXT 外部时钟特性

| 符号 | 描述 | 最小值 | 典型值. | 最大值 | 单位 |
|-----------------|----------------------|---------------------|--------|---------------------|-----|
| f_{LXT-IN} | 外部输入时钟源频率 | - | 32.768 | 1000 | kHz |
| V_{LXT-L} | LXT 外部输入时钟源低电平 | GND | - | 0.3*VD _D | V |
| V_{LXT-H} | LXT 外部输入时钟源高电平 | 0.7*VD _D | - | VDD | V |
| $T_{width-LXT}$ | LXT 外部输入时钟源低/高电平持续时间 | 450 | - | - | nS |
| $T_{rise-LXT}$ | LXT 外部输入时钟源上升时间 | - | - | 50 | nS |
| $T_{fall-LXT}$ | LXT 外部输入时钟源下降时间 | - | - | 50 | nS |

表 23 HXT 外部时钟特性

| 符号 | 描述 | 最小值 | 典型值. | 最大值 | 单位 |
|-----------------|----------------------|---------------------|------|---------|-----|
| F_{HXT-IN} | 外部输入时钟源频率 | - | 8 | 32 | MHz |
| V_{HXT-L} | HXT 外部输入时钟源低电平 | GND | - | 0.3*VDD | V |
| V_{HXT-H} | HXT 外部输入时钟源高电平 | 0.7*VD _D | - | VDD | V |
| $T_{width-HXT}$ | HXT 外部输入时钟源低/高电平持续时间 | 15 | - | - | nS |
| $T_{rise-HXT}$ | HXT 外部输入时钟源上升时间 | - | - | 20 | nS |
| $T_{fall-HXT}$ | HXT 外部输入时钟源下降时间 | - | - | 20 | nS |

8.9 PLL 特性

表 24 PLL 特性

| 符号 | 描述 | 最小值 | 典型值. | 最大值 | 单位 |
|------------------------|-------------|--------------------|--------------------|--------------------|-----|
| | | Typ ⁽¹⁾ | Max ⁽²⁾ | Max ⁽³⁾ | |
| f_{PLL-IN} | PLL 输入时钟频率 | 1 | 8 | 24 | MHz |
| Duty _{PLL-IN} | PLL 输入时钟占空比 | 40 | - | 60 | % |
| $f_{PLL-OUT}$ | PLL 输出时钟频率 | 16 | - | 48 | MHz |
| T_{lock} | PLL 锁定时间 | - | - | 200 | us |
| Jitter _{c-c} | 周期到周期间抖动 | - | - | 300 | ps |

8.10 功耗

表 25 运行和睡眠模式的功耗特性

| 运行模式 | 代码执行位置 | 条件 | f_{HCLK} (MHz) | IVDD (外设打开) (mA) | | | IVDD (外设关闭) (mA) | | | IVDDA (μ A) | | |
|------|--------|-------------------|---------------------|------------------------|--------------------|--------------------|------------------------|--------------------|--------------------|---------------------|--------------------|--------------------|
| | | | | Typ ⁽¹⁾ | Max ⁽²⁾ | Max ⁽³⁾ | Typ ⁽¹⁾ | Max ⁽²⁾ | Max ⁽³⁾ | Typ ⁽¹⁾ | Max ⁽²⁾ | Max ⁽³⁾ |
| 正常模式 | flash | HXT 旁路, PLL 打开 | 48 | 15.6 | 20.5 | | 9.13 | 11.2 | | 316 | 430 | |
| 正常模式 | flash | HXT 旁路, PLL 打开 | 32 | 10.41 | 12.6 | | 6.82 | 8.4 | | 240 | | |
| 正常模式 | flash | HXT 旁路, PLL 打开 | 24 | 8.47 | 10 | | 5.69 | 6.9 | | 207 | 301 | |
| 正常模式 | flash | HXT 旁路, PLL 关闭 | 8 | 4 | 7.6 | | 3.1 | 4 | | 2.86 | | |
| 正常模式 | flash | HXT 旁路, PLL 关闭 | 1 | 2.1 | 3 | | 2 | 2.9 | | 2.86 | | |

本资料为芯海科技专有财产，非经许可，不得复制、翻印或转变其他形式使用。

This document is exclusive property of CHIPSEA and shall not be reproduced or copied or transformed to any other format without prior permission of CHIPSEA

| | | | | | | | | | | | | |
|------|-------|-------------------|----|-------|--|--|------|--|--|------|-----|--|
| 正常模式 | flash | HRC 打开, PLL 打开 | 48 | 14.6 | | | 9.11 | | | 376 | | |
| 正常模式 | flash | HRC 打开, PLL 打开 | 32 | 10.44 | | | 6.86 | | | 302 | | |
| 正常模式 | flash | HRC 打开, PLL 打开 | 24 | 8.5 | | | 5.67 | | | 269 | | |
| 正常模式 | flash | HRC 打开, PLL 关闭 | 8 | 4.06 | | | 3.08 | | | 61.5 | 104 | |
| 正常模式 | SRAM | HXT 旁路, PLL 打开 | 48 | | | | | | | | | |
| 正常模式 | SRAM | HXT 旁路, PLL 打开 | 32 | | | | | | | | | |
| 正常模式 | SRAM | HXT 旁路, PLL 打开 | 24 | | | | | | | | | |
| 正常模式 | SRAM | HXT 旁路, PLL 关闭 | 8 | | | | | | | | | |
| 正常模式 | SRAM | HXT 旁路, PLL 关闭 | 1 | | | | | | | | | |
| 正常模式 | SRAM | HRC 打开, PLL 打开 | 48 | | | | | | | | | |
| 正常模式 | SRAM | HRC 打开, PLL 打开 | 32 | | | | | | | | | |
| 正常模式 | SRAM | HRC 打开, PLL 打开 | 24 | | | | | | | | | |
| 正常模式 | SRAM | HRC 打开, PLL 关闭 | 8 | | | | | | | | | |
| 睡眠模式 | - | HXT 旁路, PLL 打开 | 48 | 9.43 | | | 3.45 | | | 316 | | |
| 睡眠模式 | - | HXT 旁路, PLL 打开 | 32 | 7 | | | 2.92 | | | 240 | | |
| 睡眠模式 | - | HXT 旁路, PLL 打开 | 24 | 5.74 | | | 2.67 | | | 207 | | |
| 睡眠模式 | - | HXT 旁路, PLL 关闭 | 8 | 3.07 | | | 2.11 | | | 2.86 | | |
| 睡眠模式 | - | HXT 旁路, PLL 关闭 | 1 | 2.02 | | | 1.91 | | | 2.86 | | |
| 睡眠模式 | - | HRC 打开, PLL 打开 | 48 | 9.48 | | | 3.42 | | | 376 | | |
| 睡眠模式 | - | HRC 打开, PLL 打开 | 32 | 7.05 | | | 2.89 | | | 302 | | |
| 睡眠模式 | - | HRC 打开, PLL 打开 | 24 | 5.78 | | | 2.64 | | | 269 | | |
| 睡眠模式 | - | HRC 打开, PLL 关闭 | 8 | 3.12 | | | 2.09 | | | 61.5 | | |

表 26 深睡和掉电模式的功耗特性

| 运行模式 | 代码执行位置 | 条件 | f_{HCLK} (MHz) | IVDD (外设打开) (μA) | | | IVDD (外设关闭) (μA) | | | IVDDA (μA) | | |
|--------|--------|-------------------------------------|---------------------|-------------------------------|--------------------|--------------------|-------------------------------|--------------------|--------------------|----------------------|--------------------|--------------------|
| | | | | Typ ⁽¹⁾ | Max ⁽²⁾ | Max ⁽³⁾ | Typ ⁽¹⁾ | Max ⁽²⁾ | Max ⁽³⁾ | Typ ⁽¹⁾ | Max ⁽²⁾ | Max ⁽³⁾ |
| 深睡模式 1 | - | VDDA monitor 打开 | - | 21.3 | 42 | - | | | | 2.73 | 15.8 | |
| 深睡模式 1 | - | VDDA monitor 关闭 | - | 21.3 | 42 | - | | | | 1.24 | | |
| 深睡模式 2 | - | VDDA monitor 打开 | - | 5.6 | 21 | - | | | | 2.71 | 15.8 | |
| 深睡模式 2 | - | VDDA monitor 关闭 | - | 5.6 | 21 | - | | | | 1.21 | | |
| 掉电模式 | - | LRC 打开, FWDT 打开, VDDA monitor 打开 | - | 1.2 | - | - | | | | 3.6 | | |
| 掉电模式 | - | LRC 关闭, FWDT 关闭, | - | 1.0 | - | - | | | | 2.3 | | |

本资料为芯海科技专有财产，非经许可，不得复制、翻印或转变其他形式使用。

This document is exclusive property of CHIPSEA and shall not be reproduced or copied or transformed to any other format without prior permission of CHIPSEA

| | | | | | | | | | | |
|------|---|-------------------------------------|---|-----|---|---|--|--|-----|--|
| | | VDDA monitor 打开 | | | | | | | | |
| 掉电模式 | - | LRC 打开, FWDT 打开, VDDA monitor 关闭 | - | 1.2 | - | - | | | 2.5 | |
| 掉电模式 | - | LRC 关闭, FWDT 关闭, VDDA monitor 关闭 | - | 1.0 | - | - | | | 1.2 | |

(1) VDD=VDDA=VBAT=3.3V, T_{range}=25°C(2) VDD=VDDA=VBAT=3.6V, T_{range}=105°C(3) VDD=VDDA=VBAT=5.5V, T_{range}=105°C

8.11 内部参考电压特性

表 27 内部参考电压特性

| 符号 | 描述 | 最小值 | 典型值. | 最大值 | 单位 |
|-------------------------|----------------|------|------|------|---------------------|
| V _{refint} | 内部参考电压 | 1.19 | 1.22 | 1.25 | V |
| deltV _{refint} | 内部参考电压随温度的变化范围 | - | - | 11 | mV |
| T _c | 温度漂移 | -60 | - | 60 | ppm/ ⁰ C |

8.12 ADC 特性

表 28 ADC 特性

| 符号 | 描述 | 最小值 | 典型值. | 最大值 | 单位 |
|---------------------------|---|-----|------|-------|--------------------|
| VDDA | ADC 正常工作时 VDDA 电压范围 ⁽¹⁾⁽²⁾⁽³⁾⁽⁴⁾ | 2.4 | - | 5.5 | V |
| I _{VDDA-ADC} | ADC 功耗(VDDA), Autoff=0, VDDA=3.3V | - | 0.9 | - | mA |
| f _{ADC} | ADC 时钟频率 | 0.6 | - | 14 | MHz |
| T _{sample} | ADC 采样时间 | 1.5 | - | 236.5 | 1/f _{ADC} |
| T _{convert-time} | ADC 转换时间 | 14 | - | 252 | 1/f _{ADC} |
| T _{switch-on} | ADC 开关导通时间 | - | - | 1 | μS |
| T _{calibration} | ADC 校准时间 | - | 83 | - | 1/f _{ADC} |
| V _{range-input} | ADC 输入电压范围 | 0 | - | VDDA | V |
| C _{input-ADC} | ADC 输入电容 | - | - | 8 | pF |
| R _{ext-input} | 外部输入阻抗 | - | - | 50 | kΩ |
| B _{-3dB} | 输入信号的 -3dB 带宽 | | 50 | | kHz |
| I _{so<input/>} | 输入信号隔离 | - | - | -100 | dB |
| Resolution | ADC 分辨率 (可设置) | 6 | - | 12 | Bit |
| ERR _{absolute} | ADC 绝对误差 | - | ±3.3 | ±4 | LSB |
| INL | ADC INL, f _{ADC} =14MHz, R _{ext-input} <10kΩ, VDDA≥2.7V | - | ±1.2 | ±2.3 | LSB |
| | ADC INL, f _{ADC} =14MHz, R _{ext-input} <10kΩ, VDDA=2.4V | - | ±1.5 | ±3.5 | LSB |
| DNL | ADC DNL, f _{ADC} =14MHz, R _{ext-input} <10kΩ, VDDA≥2.7V | - | ±0.7 | ±1.3 | LSB |
| | ADC DNL, f _{ADC} =14MHz, R _{ext-input} <10kΩ, VDDA=2.4V | - | ±2.8 | ±3 | LSB |
| Offset | ADC offset, f _{ADC} =14MHz, R _{ext-input} <10kΩ, VDDA≥2.7V | - | ±1.9 | ±2.8 | LSB |
| | ADC offset, f _{ADC} =14MHz, R _{ext-input} <10kΩ, VDDA=2.4V | - | ±2 | ±3.5 | LSB |
| ERR _{Gain} | ADC 增益误差, f _{ADC} =14MHz, R _{ext-input} <10kΩ, VDDA≥2.7V | - | ±2.8 | ±3 | LSB |
| | ADC 增益误差, f _{ADC} =14MHz, R _{ext-input} <10kΩ, VDDA=2.4V | - | ±2.8 | ±3 | LSB |

(1) -40°C ≤ Trange ≤ 85°C, fADC≤14MHz, 支持电压范围 2.65≤VDDA≤5.5V;

(2) -40°C ≤ Trange ≤ 105°C, fADC≤14MHz, 支持电压范围 2.7≤VDDA≤5.5V;

(3) -40°C ≤ Trange ≤ 105°C, fADC≤12MHz, 支持电压范围 2.4≤VDDA≤5.5V;

(4) 进入校准模式, fADC≤12MHz。进入正常转换模式, fADC≤14MHz。支持: -40°C ≤ Trange ≤ 105°C 和电压范围 2.4≤VDDA≤5.5V;

表 29 $f_{ADC}=14MHz$ 时 $R_{ext-input}$ 的最大值

| $T_{sample}(1/f_{ADC})$ | $T_{sample}(\mu S)$ | Max. $R_{ext-input}(k\Omega)$ |
|-------------------------|---------------------|-------------------------------|
| 1.5 | 0.11 | 0.15 |
| 2.5 | 0.18 | 0.4 |
| 8.5 | 0.61 | 5.9 |
| 14.5 | 1.04 | 11.4 |
| 29.5 | 2.11 | 25.2 |
| 42.5 | 3.04 | 37.2 |
| 56.5 | 4.04 | 50 |
| 71.5 | 5.11 | - |
| 239.5 | 17.1 | - |

8.13 温度传感器特性

表 30 温度传感器特性

| 符号 | 描述 | 最小值 | 典型值. | 最大值 | 单位 |
|-------------------|---------------------|------|------|------|-------|
| L_{temp} | 温度传感器的线性度(0~105 °C) | - | ±1 | ±2 | °C |
| | 温度传感器的线性度(-40~0 °C) | - | ±2 | ±4 | °C |
| S_{temp} | 温度传感器电压的平均斜率 | 4.35 | 4.47 | 4.60 | mV/°C |
| V_{temp30} | 在 30±5 °C 时温度传感器电压 | 1.37 | 1.43 | 1.50 | V |
| $T_{start-temp}$ | 温度传感器的建立时间 | - | - | 6 | μS |
| $T_{sample-temp}$ | 读取温度时, ADC 采样时间 | 4 | - | - | μS |

8.14 VBAT 监测器特性

表 31 VBAT 监测器特性

| 符号 | 描述 | 最小值 | 典型值. | 最大值 | 单位 |
|-------------------|--------------------|-----|------|-----|----|
| R_{VBAT} | VBAT 电阻桥 | - | 2*50 | - | kΩ |
| $Ratio_{VBAT}$ | VBAT 测量比值 | - | 2 | - | - |
| Err | VBAT 的比例误差 | -1 | - | +1 | % |
| $T_{sample-VBAT}$ | VBAT 测量时 ADC 的采样时间 | 4 | - | - | μS |

8.15 Flash 特性

表 32 Flash 特性

| 符号 | 描述 | 最小值 | 典型值. | 最大值 | 单位 |
|-------------------|-------------------------|--------|------|------|--------|
| T_{prog} | 16 位编程时间 | 33.6 | 35 | 36.4 | μS |
| | 32 位编程时间 | 67.2 | 70 | 72.8 | μS |
| T_{erase} | 页(1 kbytes) 擦除时间 | 17.6 | 18.3 | 19.1 | mS |
| $T_{mass-erase}$ | 整体擦除时间 | 29.1 | 30.3 | 31.6 | mS |
| $Cyc_{endurance}$ | 可擦写次数 | 20,000 | - | - | Cycles |
| $T_{retention}$ | 数据保存期限, Trange =25 °C | 100 | - | - | Year |
| | 数据保存期限, Trange =85 °C | 20 | - | - | Year |
| | 数据保存期限, Trange = 105 °C | 10 | - | - | Year |

8.16 定时器特性

本资料为芯海科技专有财产，未经许可，不得复制、翻印或转变其他形式使用。

This document is exclusive property of CHIPSEA and shall not be reproduced or copied or transformed to any other format without prior permission of CHIPSEA

表 33 TIMx 特性

| 符号 | 描述 | 最小值 | 典型值. | 最大值 | 单位 |
|-------------------------|---------------|-----|---|-----|-----|
| T _{resolution} | 时间分辨率 | - | T _{TIMx CLK} | - | nS |
| f _{ext-clk} | CHx 外部时钟频率 | - | T _{TIMx CLK/2} | - | MHz |
| T _{max-count} | 16 位定时器最大定时时间 | - | 2 ¹⁶ * T _{TIMx CLK} | - | nS |
| | 32 位定时器最大定时时间 | - | 2 ³² * T _{TIMx CLK} | - | nS |

表 34 FWDT 特性

| 预分频 | PDIV[2:0] | 最小溢出值 UVAL[11:0]=0x000 | 最大溢出值 UVAL[11:0]=0x000 | 单位 |
|------|-----------|------------------------|----------------------------|----|
| /4 | 0 | 4 * T _{40K} | 16384 * T _{40K} | mS |
| /8 | 1 | 8 * T _{40K} | 32768 * T _{40K} | mS |
| /16 | 2 | 16 * T _{40K} | 65536 * T _{40K} | mS |
| /32 | 3 | 32 * T _{40K} | 131072 * T _{40K} | mS |
| /64 | 4 | 64 * T _{40K} | 262144 * T _{40K} | mS |
| /128 | 5 | 128 * T _{40K} | 524288 * T _{40K} | mS |
| /256 | 6 or 7 | 256 * T _{40K} | 1048576 * T _{40K} | mS |

表 35 WWDT 特性

| 预分频 | PDIV[1:0] | 最小溢出值 | 最大溢出值 | 单位 |
|-----|-----------|---------------------------|-----------------------------|----|
| /1 | 0 | 4096 * T _{PLCK} | 262144 * T _{PLCK} | mS |
| /2 | 1 | 8192 * T _{PLCK} | 524288 * T _{PLCK} | mS |
| /4 | 2 | 16384 * T _{PLCK} | 1048576 * T _{PLCK} | mS |
| /8 | 3 | 32768 * T _{PLCK} | 2097152 * T _{PLCK} | mS |

8.17 SPI/I2S 特性

表 36 SPI 特性

| 符号 | 描述 | 最小值 | 典型值 | 最大值 | 单位 |
|------------------------|---|-------------------------|-----|------------------------|-----|
| f _{SCK} | SPI 主模式时钟频率 (VDD ≥ 3V, Trange ≤ 85 °C) | - | - | 18 | MHz |
| | SPI 从模式时钟频率 (VDD ≥ 3V, Trange ≤ 85 °C) | - | - | 18 | MHz |
| | SPI 主模式时钟频率 (VDD ≥ 3V, 85 °C < Trange ≤ 105 °C) | - | - | 15 | MHz |
| | SPI 从模式时钟频率 (VDD ≥ 3V, 85 °C < Trange ≤ 105 °C) | - | - | 15 | MHz |
| | SPI 主模式时钟频率 (VDD ≥ 2V, Trange ≤ 105 °C) | - | - | 13 | MHz |
| | SPI 从模式时钟频率 (VDD ≥ 2V, Trange ≤ 105 °C) | - | - | 13 | MHz |
| T _{rise-SCK} | 15pf 容性负载下 SPI 时钟上升时间 | - | - | 6 | nS |
| T _{fall-SCK} | 15pf 容性负载下 SPI 时钟下降时间 | - | - | 6 | nS |
| T _{setup-NSS} | 从模式 NSS 建立时间 | 50 | - | - | nS |
| T _{hold-NSS} | 从模式 NSS 保持时间 | 2*T _{pclk} +10 | - | - | nS |
| T _{width-SCK} | SCK 高电平和低电平时间 (f _{PCLK} =36MHz, PCLKPDIV=4) | 2*T _{pclk} -3 | - | 2*T _{pclk} +1 | nS |
| T _{setup-din} | 主模式数据输入建立时间 | 4 | - | - | nS |

本资料为芯海科技专有财产，非经许可，不得复制、翻印或转变其他形式使用。

This document is exclusive property of CHIPSEA and shall not be reproduced or copied or transformed to any other format without prior permission of CHIPSEA

| | | | | | |
|--------------------|----------------------------------|------|---|----|----|
| | 从模式数据输入建立时间 | 5 | - | - | nS |
| $T_{hold-din}$ | 主模式数据输入保持时间 | 4 | - | - | nS |
| | 从模式数据输入保持时间 | 5 | - | - | nS |
| $T_{access-dout}$ | 从模式数据输出访问时间 ($f_{PCLK}=20MHz$) | 0 | - | 32 | nS |
| $T_{disable-dout}$ | 从模式数据输出禁止时间 | 0 | - | 32 | nS |
| $T_{valid-dout}$ | 从模式使能边沿之后数据输出有效时间 | - | - | 35 | nS |
| | 主模式使能边沿之后数据输出有效时间 | - | - | 6 | nS |
| $T_{hold-dout}$ | 从模式使能边沿之后数据输出保持时间 | 11.5 | - | - | nS |
| | 主模式使能边沿之后数据输出保持时间 | 2 | - | - | nS |
| DutySCK | 从模式输入时钟占空比 | 25 | - | 75 | nS |

图 12 SPI 时序图-从机模式 (1)

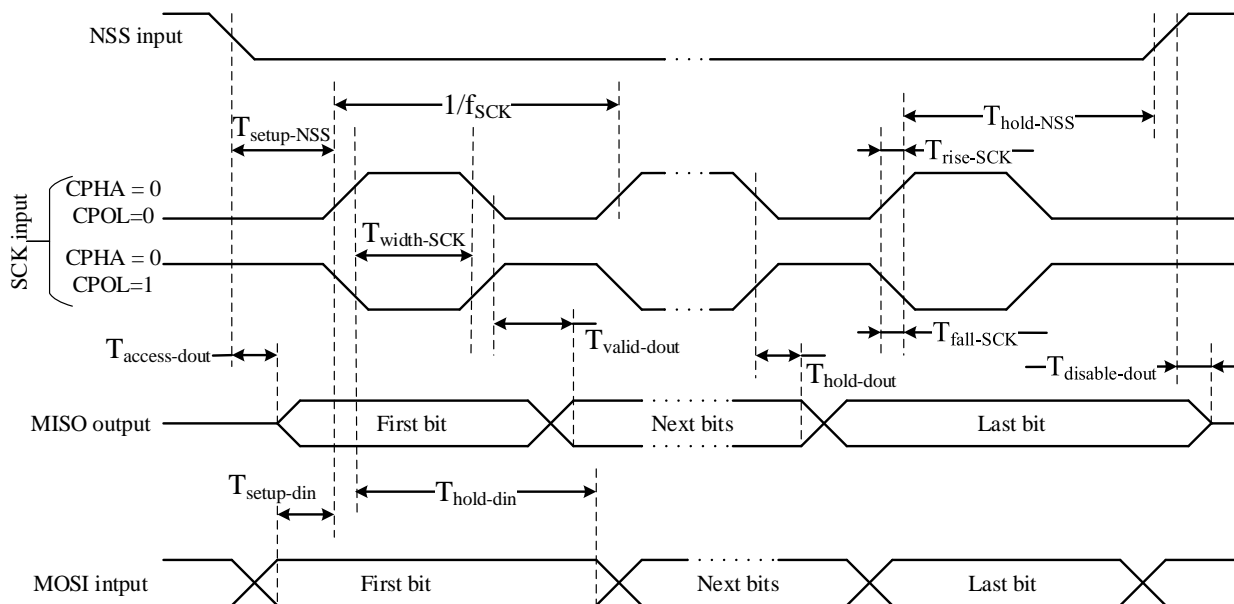


图 13 SPI 时序图-从机模式 (2)

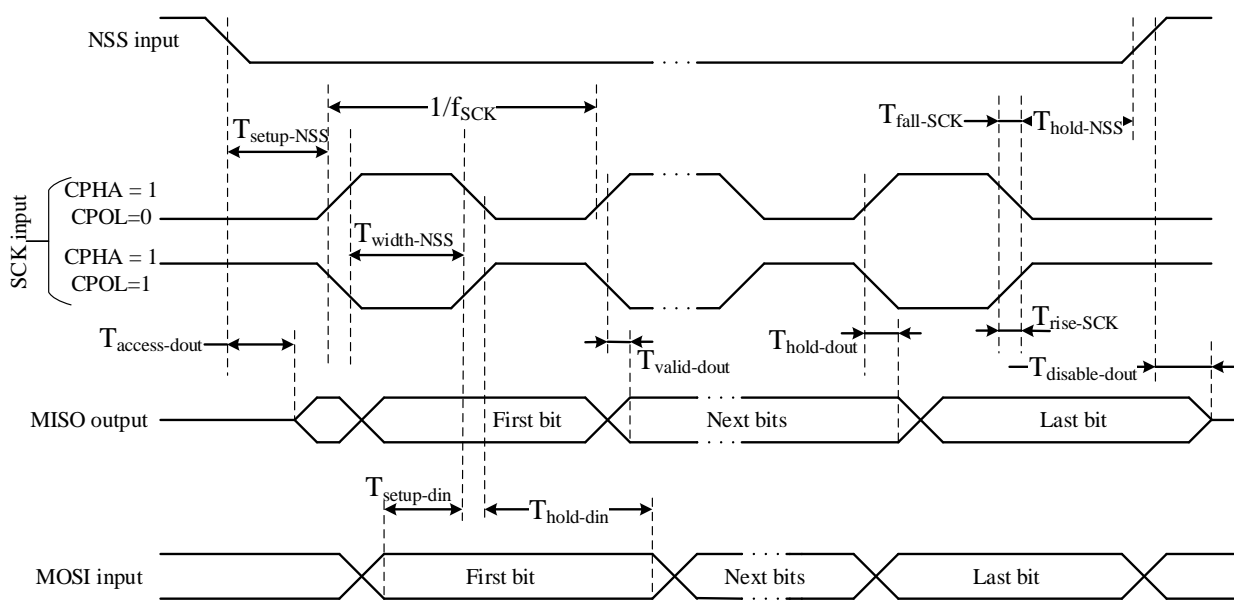


图 14 SPI 时序图-主机模式

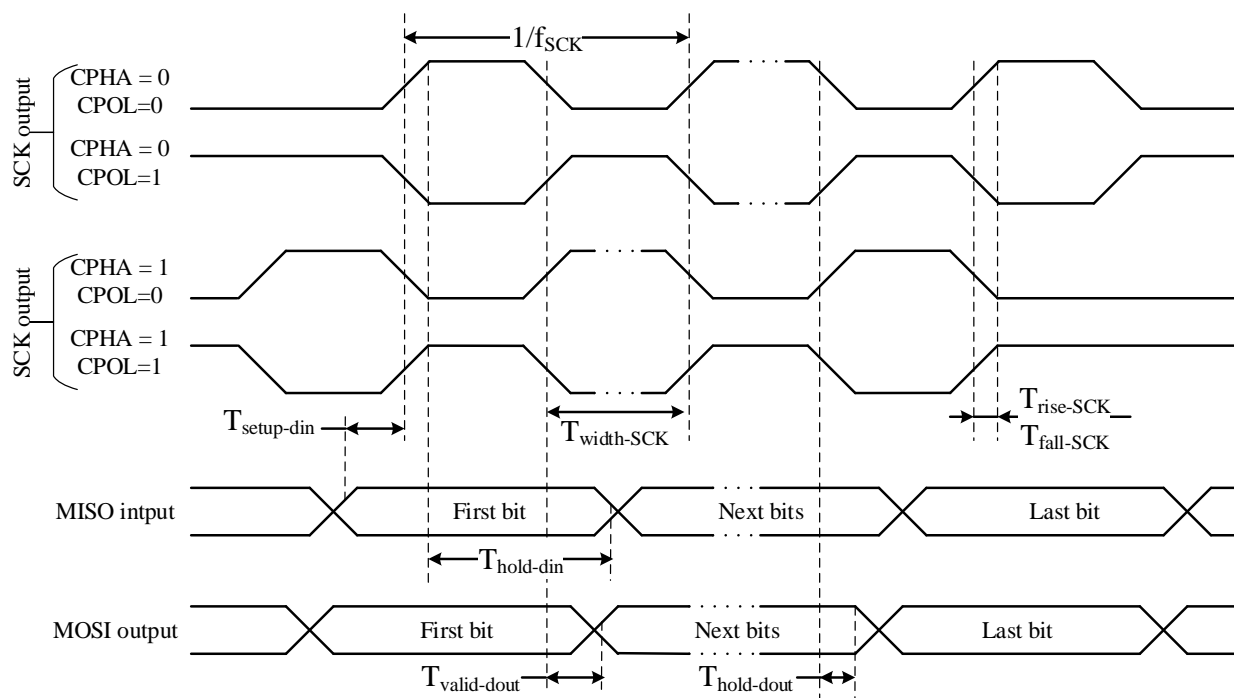


表 37 I2S 特性

| 符号 | 描述 | 最小值 | 典型值 | 最大值 | 单位 |
|-------------------------|--|-------|-----|-------|-----|
| fCK | I2S 主模式时钟频率 (数据长度=16, 音频频率=48kHz) | 1.597 | - | 1.601 | MHz |
| | I2S 从模式时钟频率 | 0 | - | 6.5 | MHz |
| T _{rise-CK} | 15pf 容性负载下 I2S 时钟上升时间 | - | - | 10 | nS |
| T _{fall-CK} | 15pf 容性负载下 I2S 时钟下降时间 | - | - | 12 | nS |
| T _{width-CKH} | I2S 主模式时钟高电平时间 (f _{PCLK} =16MHz, 音频频率=48kHz) | 306 | - | - | nS |
| T _{width-CKL} | I2S 主模式时钟低电平时间 (f _{PCLK} =16MHz, 音频频率=48kHz) | 312 | - | - | nS |
| T _{valid-WS} | 主模式 WS 有效时间 | 1 | - | - | nS |
| T _{hold-WS} | 主模式 WS 保持时间 | 0 | - | - | nS |
| T _{setup-WS} | 从模式 WS 建立时间 | 6 | - | - | nS |
| T _{hold-WS} | 从模式 WS 保持时间 | 0 | - | - | nS |
| Duty _{CK} | I2S 从输入时钟占空比 | 25 | - | 75 | % |
| T _{setup-din} | 主接收器数据输入建立时间 | 20 | - | - | nS |
| | 从接收器数据输入建立时间 | 2 | - | - | nS |
| T _{hold-din} | 主接收器数据输入保持时间 | 4 | - | - | nS |
| | 从接收器数据输入保持时间 | 0.5 | - | - | nS |
| T _{valid-dout} | 主发送器时钟输出有效时间 | - | - | 4 | nS |
| | 从发送器数据输出有效时间 | - | - | 35 | nS |
| T _{hold-dout} | 主发送器时钟输出保持时间 | 0 | - | - | nS |
| | 从发送器数据输出保持时间 | 13 | - | - | nS |

本资料为芯海科技专有财产，非经许可，不得复制、翻印或转变其他形式使用。

This document is exclusive property of CHIPSEA and shall not be reproduced or copied or transformed to any other format without prior permission of CHIPSEA

图 15 I2S 从机时序图-Philips

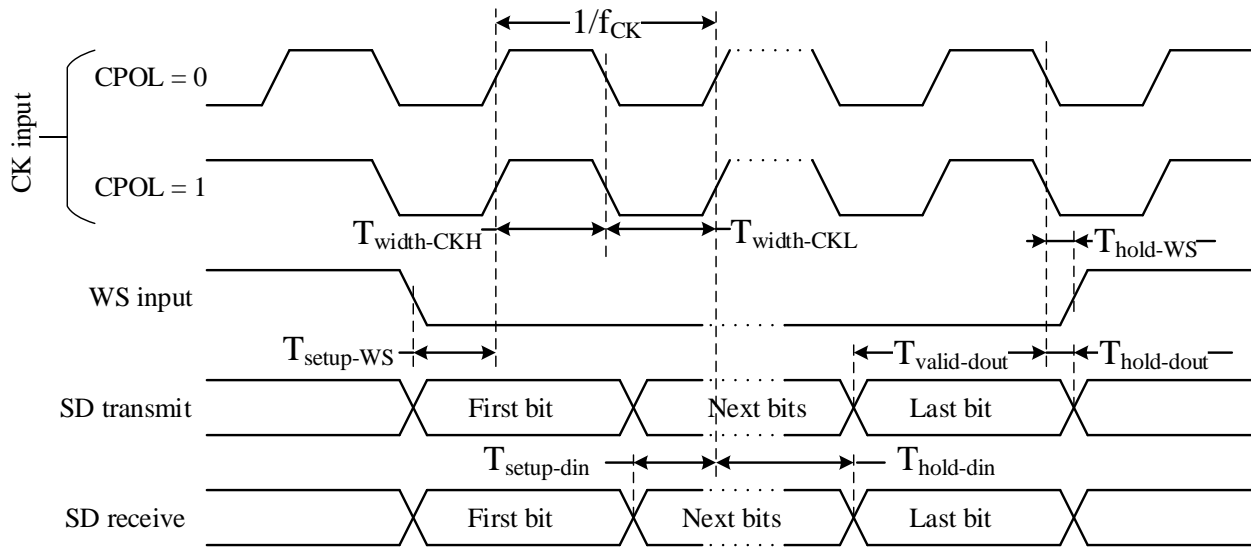
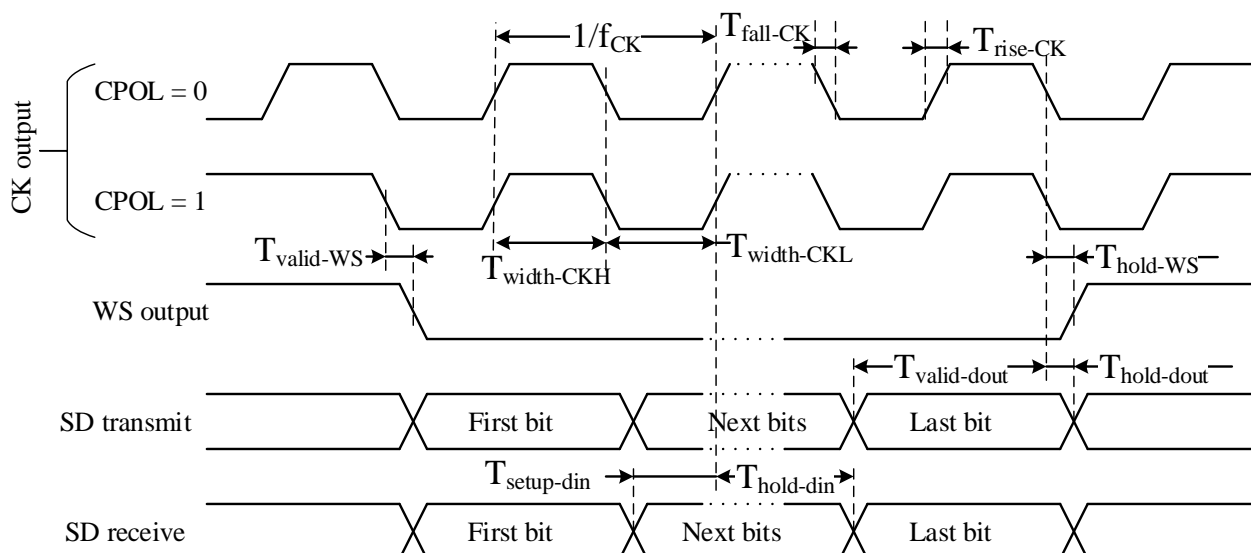


图 16 I2S 主机时序图-Philips



8.18 I2C 特性

表 38 I2C 特性

| I2C 模式 | 最大速率 | 单位 |
|--------|------|--------|
| 标准模式 | 100 | Kbit/S |
| 快速模式 | 400 | Kbit/S |
| 超快速模式 | 1000 | Kbit/S |

表 39 I2C 模拟滤波特性

| 符号 | 描述 | 最小值 | 典型值 | 最大值 | 单位 |
|----|----|-----|-----|-----|----|
| | | | | | |

| | | | | | |
|----------------------|--------------------|-----|---|----|----|
| T _{I2C-fp} | I2C 模拟滤波器滤除外部脉冲宽度 | - | - | 50 | nS |
| T _{I2C-nfp} | I2C 模拟滤波器不滤除外部脉冲宽度 | 160 | - | - | nS |

8.19 ESD 特性

表 40 ESD 特性

| 符号 | 描述 | 等级 | 值 | 单位 |
|----------------------|--|----|-------|----|
| V _{ESD-HBM} | ESD 放电人体模型, 基于 MIL-STD-883E, 温度=23±5°C 相对湿度: 55% ±10%(RH) | 3A | ≥4000 | V |
| V _{ESD-MM} | ESD 放电机器模型, 基于 JEDEC EIA/JESD22-A115, 温度 =23±5°C 相对湿度: 55% ±10%(RH) | C | ≥400 | V |
| V _{ESD-CDM} | ESD 器件放电模型, 基于 JEDEC EIA/JESD22-C101F, 温度 =23±5°C 相对湿度: 55% ±10%(RH) | C2 | ≥500 | V |
| I _{latchup} | ESD 放电机器模型, 基于 JEDEC STANDARD NO.78C SEPTMBER 2010, 温度 =23±5°C 相对湿度: 55% ±10%(RH) | II | ≥200 | mA |

9 封装信息

9.1 LQFP48

图 17 LQFP48 封装框图

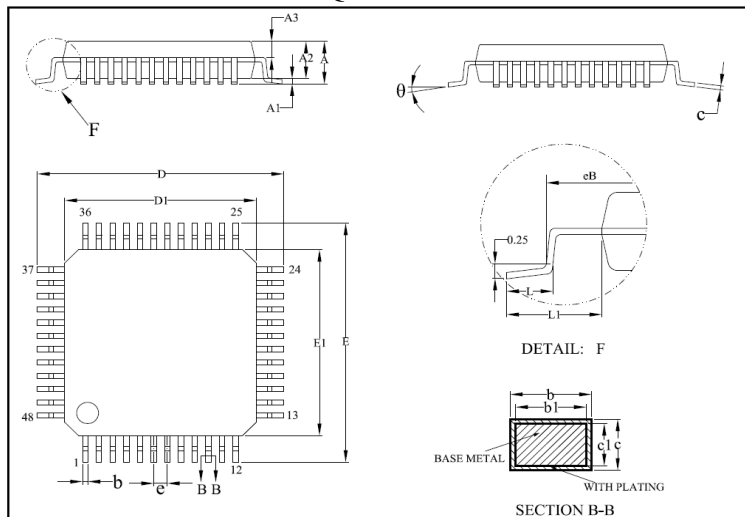


表 41 LQFP48 封装尺寸

| 符号 | 毫米 | | |
|----------|---------|------|------|
| | 最小值 | 典型值 | 最大值 |
| A | - | - | 1.60 |
| A1 | 0.05 | - | 0.15 |
| A2 | 1.35 | 1.40 | 1.45 |
| A3 | 0.59 | 0.64 | 0.69 |
| b | 0.18 | - | 0.26 |
| b1 | 0.17 | 0.20 | 0.23 |
| c | 0.13 | - | 0.17 |
| c1 | 0.12 | 0.13 | 0.14 |
| D | 8.80 | 9.00 | 9.20 |
| D1 | 6.90 | 7.00 | 7.10 |
| E | 8.80 | 9.00 | 9.20 |
| E1 | 6.90 | 7.00 | 7.10 |
| eB | 8.10 | - | 8.25 |
| e | 0.50BSC | | |
| L | 0.45 | - | 0.75 |
| L1 | 1.00REF | | |
| θ | 0 | - | 7° |

表 42 LQFP48 封装热特性

| 名称 | 大小 | 单位 |
|-------------------------|------|------|
| Θ_{JA} , by 2S2P | 53 | °C/W |
| Θ_{JC} | 16.9 | °C/W |

表 43 LQFP48 湿度特性

| 名称 | 等级 |
|------|------|
| 湿度等级 | MSL3 |

9.2 QFN32(0505×0.55-e=0.50)

图 18 QFN32 封装框图

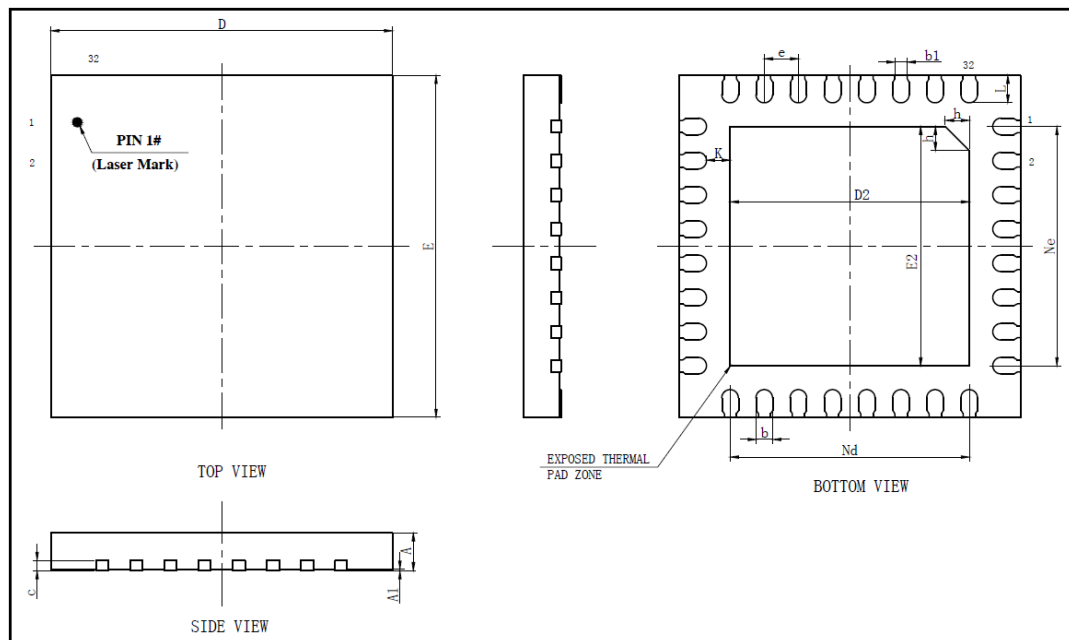


表 44 QFN32 封装尺寸

| 符号 | 毫米 | | |
|----|----------|------|------|
| | 最小值 | 典型值 | 最大值 |
| A | 0.50 | 0.55 | 0.60 |
| A1 | 0 | 0.02 | 0.05 |
| b | 0.19 | 0.24 | 0.29 |
| b1 | 0.18REF | | |
| c | 0.152REF | | |
| D | 4.90 | 5.00 | 5.10 |
| D2 | 3.40 | 3.50 | 3.60 |
| e | 0.50BSC | | |
| Nd | 3.50BSC | | |
| E | 4.90 | 5.00 | 5.10 |
| E2 | 3.40 | 3.50 | 3.60 |
| Ne | 3.50BSC | | |
| L | 0.35 | 0.40 | 0.45 |
| K | 0.30 | 0.35 | 0.40 |
| h | 0.30 | 0.35 | 0.40 |

表 45 QFN32 封装热特性

| 名称 | 大小 | 单位 |
|-------------------------|------|------|
| Θ_{JA} , by 2S2P | 41.3 | °C/W |
| Θ_{JC} | 14.5 | °C/W |

表 46 QFN32 湿度特性

| 名称 | 等级 |
|------|------|
| 湿度等级 | MSL3 |

9.3 QFN32(0505×0.75-e=0.50)

图 19 QFN32 封装框图

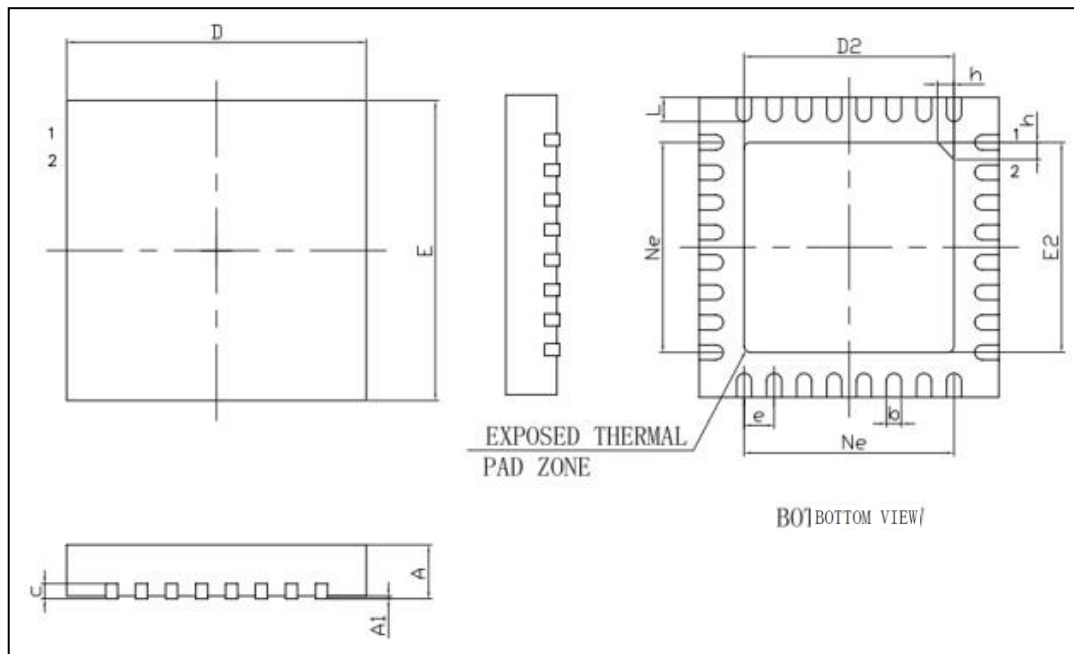


表 47 QFN32 封装尺寸

| 符号 | 毫米 | | |
|-----|---------|------|------|
| | 最小值 | 典型值 | 最大值 |
| A | 0.70 | 0.75 | 0.80 |
| A1 | 0 | 0.02 | 0.05 |
| b | 0.20 | 0.25 | 0.30 |
| c | 0.18 | 0.20 | 0.25 |
| D | 4.90 | 5.00 | 5.10 |
| D2① | 3.40 | 3.50 | 3.60 |
| | 3.30 | 3.40 | 3.50 |
| e | 0.50BSC | | |
| Ne | 3.50BSC | | |
| E | 4.90 | 5.00 | 5.10 |
| E2① | 3.40 | 3.50 | 3.60 |
| | 3.30 | 3.40 | 3.50 |
| Ne | 3.50BSC | | |
| L | 0.32 | 0.40 | 0.48 |
| h | 0.30 | 0.35 | 0.40 |

表 48 QFN32 封装热特性

| 名称 | 大小 | 单位 |
|-------------------------|-----|------|
| Θ_{JA} , by 2S2P | TBD | °C/W |
| Θ_{JC} | TBD | °C/W |

表 49 QFN32 湿度特性

| 名称 | 等级 |
|----|----|
| | |

| 湿度等级 | MSL3 |
|------|------|
|------|------|

① 因产品在多家封装厂进行封装生产，此指标会有所差异，但功能、性能完全一致。

本资料为芯海科技专有财产，非经许可，不得复制、翻印或转变其他形式使用。

This document is exclusive property of CHIPSEA and shall not be reproduced or copied or transformed to any other format
without prior permission of CHIPSEA

9.4 QFN28

图 20 QFN28 封装框图

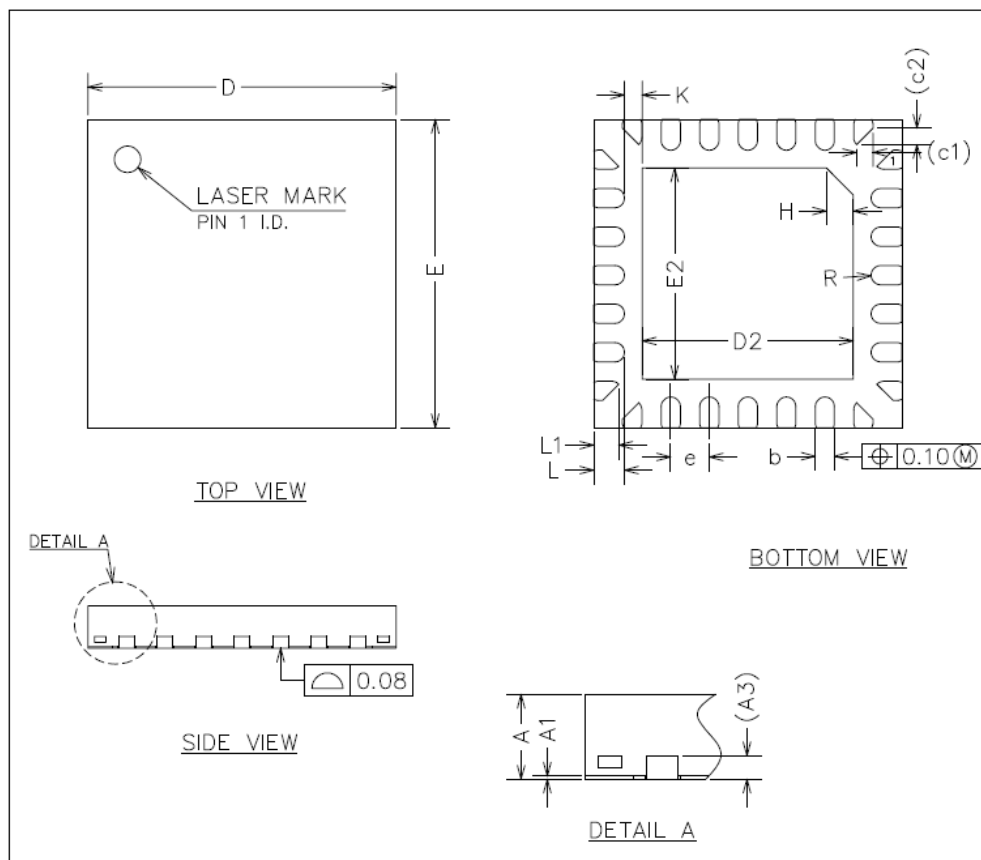


表 50 QFN28 封装尺寸

| 符号 | 毫米 | | |
|----|---------|------|------|
| | 最小值 | 典型值 | 最大值 |
| A | 0.50 | 0.55 | 0.60 |
| A1 | 0.00 | 0.02 | 0.05 |
| A3 | 0.15REF | | |
| b | 0.20 | 0.25 | 0.30 |
| D | 3.90 | 4.00 | 4.10 |
| E | 3.90 | 4.00 | 4.10 |
| D2 | 2.64 | 2.74 | 2.84 |
| E2 | 2.64 | 2.74 | 2.84 |
| e | 0.40 | 0.50 | 0.60 |
| H | 0.35REF | | |
| K | 0.13 | 0.23 | 0.33 |
| L | 0.30 | 0.40 | 0.50 |
| L1 | 0.20 | 0.30 | 0.40 |
| R | 0.10 | - | - |
| c1 | - | 0.21 | - |
| c2 | - | 0.21 | - |

本资料为芯海科技专有财产，非经许可，不得复制、翻印或转变其他形式使用。

This document is exclusive property of CHIPSEA and shall not be reproduced or copied or transformed to any other format without prior permission of CHIPSEA

表 51 QFN28 封装热特性

| 名称 | 大小 | 单位 |
|-------------------------|-------|------|
| Θ_{JA} , by 2S2P | 50.80 | °C/W |
| Θ_{JC} | 19.7 | °C/W |

表 52 QFN28 湿度特性

| 名称 | 等级 |
|------|------|
| 湿度等级 | MSL3 |

9.5 WLCSP25

图 21 WLCSP25(2.410 x 2.415 mm)封装框图

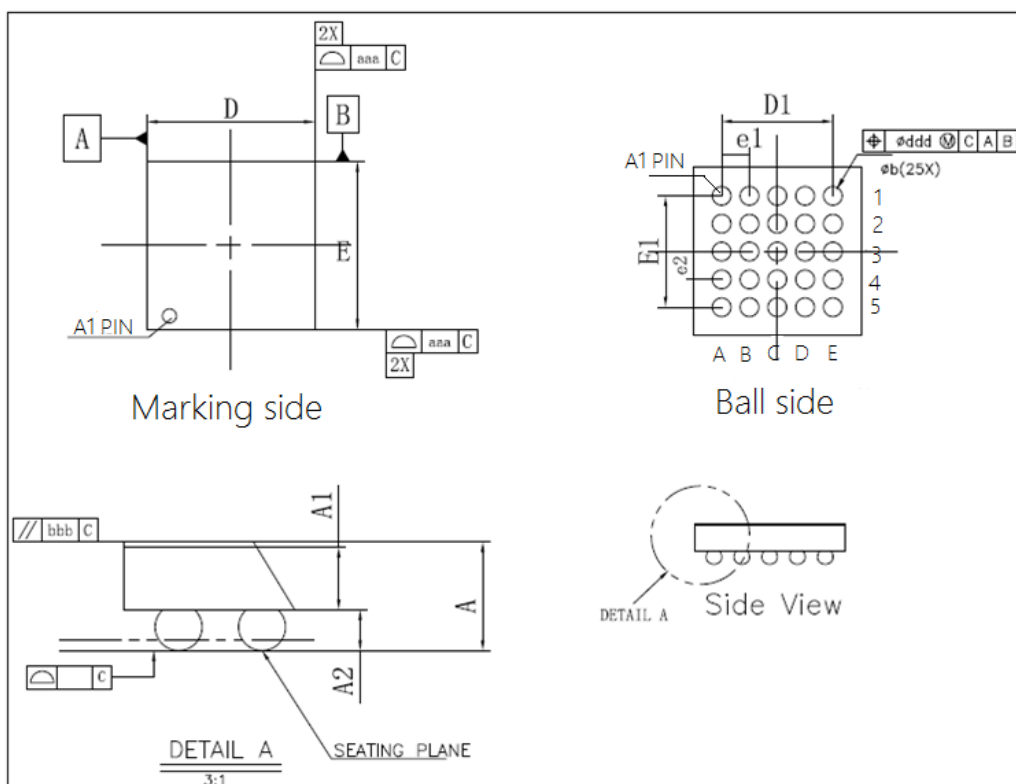


表 53 WLCSP25 封装尺寸

| 符号 | 毫米 | | |
|----|-------|-------|-------|
| | 最小值 | 典型值 | 最大值 |
| A | 0.525 | 0.555 | 0.585 |
| A1 | 0.345 | 0.360 | 0.375 |
| A2 | 0.175 | 0.195 | 0.215 |
| D | 2.390 | 2.410 | 2.430 |
| E | 2.395 | 2.415 | 2.435 |
| D1 | - | 1.600 | - |
| E1 | - | 1.600 | - |
| e1 | - | 0.400 | - |
| e2 | - | 0.400 | - |

本资料为芯海科技专有财产，非经许可，不得复制、翻印或转变其他形式使用。

This document is exclusive property of CHIPSEA and shall not be reproduced or copied or transformed to any other format without prior permission of CHIPSEA

| | | | |
|---------|--------|--------|--------|
| bx (25) | 0. 248 | 0. 268 | 0. 288 |
| aaa | 0. 100 | | |
| bbb | 0. 100 | | |
| ccc | 0. 050 | | |
| ddd | 0. 050 | | |

表 54 WLCSP25 湿度特性

| 名称 | 等级 |
|------|------|
| 湿度等级 | MSL1 |

本资料为芯海科技专有财产，非经许可，不得复制、翻印或转变其他形式使用。

This document is exclusive property of CHIPSEA and shall not be reproduced or copied or transformed to any other format
without prior permission of CHIPSEA

10 产品命名规则

10.1 产品丝印说明



| 丝印打标说明: | |
|---------|---|
| 1 | 正面引脚 Pin1 标记; |
| 2 | 正面第一行 (CHIPSEA) ; |
| 3 | 正面第二行 (产品型号) , 譬如 CS32F031K8U6H 丝印为 F031K8U6; |
| 4 | 正面第三行 (YYWWXXX) 为主批号, 左端两位 YY 取自公历年号后两位, 中间两位 WW 取自本年度日历周数, 不足两位时左端补 0, 右端三位 XXX 为可变量以订单指定为准; |
| 5 | 字体为 “Arial” ; |
| 6 | 打印方式为激光正印 |

11 订货信息

表 55 订货信息

| 芯片型号 | 产品型号 | 引脚 | 存储空间 | 封装类型 | 包装 | 包装数量 | 环境工作温度 |
|--------------|---------------|----|------|--------------------------|----|------|--------------|
| CS32F031E6Y6 | CS32F031E6Y6 | 25 | 32KB | WLCSP25 | 编带 | 3000 | -40°C ~105°C |
| CS32F031G6U6 | CS32F031G6U6 | 28 | 32KB | QFN28 | 盘装 | 4900 | -40°C ~105°C |
| CS32F031K8U6 | CS32F031K8U6 | 32 | 64KB | QFN32 (0505×0.55-e=0.50) | 盘装 | 4900 | -40°C ~105°C |
| | CS32F031K8U6H | 32 | 64KB | QFN32 (0505×0.75-e=0.50) | 盘装 | 4900 | -40°C ~105°C |
| | CS32F031K8U6B | 32 | 64KB | QFN32 (0505×0.75-e=0.50) | 盘装 | 4900 | -40°C ~85°C |
| CS32F031C8T6 | CS32F031C8T6 | 48 | 64KB | LQFP48 | 盘装 | 2500 | -40°C ~105°C |

12 勘误表

参考《CS32F03X 勘误表》

本资料为芯海科技专有财产，非经许可，不得复制、翻印或转变其他形式使用。

This document is exclusive property of CHIPSEA and shall not be reproduced or copied or transformed to any other format
without prior permission of CHIPSEA

13 缩略语

| 缩略语 | 描述 |
|---------|----------------------------------|
| ADC | 模数转换器 |
| AHB | 先进高性能总线。 |
| APB | 先进外围总线 |
| ARM | 英国领先的半导体知识产权提供商的名称 |
| Cortex | ARM 公司一个系列处理器名称 |
| CPU | 中央处理器 |
| CRC | 循环冗余校验 |
| DMA | 直接存储器访问 |
| ESD | 静电放电 |
| ETR | 外部触发输入 |
| EXTI | 扩展中断/事件控制器 |
| FLASH | 闪存存储器 |
| FWDT | 独立看门狗 |
| GPIO | 通用输入输出 |
| HXT | 外部高速时钟 |
| HRC | 内部高速 RC 时钟 |
| I2C | 由 philips 公司开发的一种简单单、双向二线制同步串行总线 |
| I2S | 集成电路内置音频总线 |
| IR | 红外线 |
| IrDA | 红外数据组织提出的红外通信标准 |
| ISO7816 | 国际智能卡标准 |
| LIN | LIN 总线针对汽车分布式电子系统而定义的串行通信网络 |
| LRC | 内部低速 RC 时钟 |
| LSB | 最低有效位 |
| LVD | 低电压复位 |
| LXT | 低速晶振 |
| MCU | 微控制器 |
| MISO | 主模式进/从模式出 |
| MOSI | 主模式出/从模式进 |
| NRST | 低电平复位 |
| NSS | 选择从模式 |
| NVIC | 嵌套向量中断控制器 |
| PCB | 印刷电路板 |
| PDR | 掉电复位 |
| PLL | 锁相环, 倍频时钟产生器 |
| PMBus | 电源管理总线 |
| POR | 上电复位 |
| RAM | 随机存取存储器 |
| RTC | 实时时钟 |
| SCK | 串行时钟 |

| | |
|-------|-----------------|
| SD | 串行数据 |
| SMBus | 系统管理总线 |
| SPI | 串行外设接口 |
| SRAM | 静态随机存取存储器 |
| SWD | 串行线调试 |
| TIM | 定时器 |
| TS | 温度传感器 |
| USART | 通用同步/异步串行接收/发送器 |
| WS | 字选择 |
| WWDT | 窗口看门狗 |

14 销售和服务

中国办公室:

深圳市南山区南海大道 1079 号花园城数码大厦 A 座 9 层

9F,Block A,Garden City Digital Building,No.1079 Nanhai Road,Nanshan District,Shenzhen

技术支持:

电话: +(86 755)86155432

传真: +(86 755)86169057

在线支持:

网站地址: [www.chipsea.com](http://www(chipsea.com)

微信: chipsea

